# CDF実験の歴史と初期の物理結果



CDF = Collider Detector at Fermilab

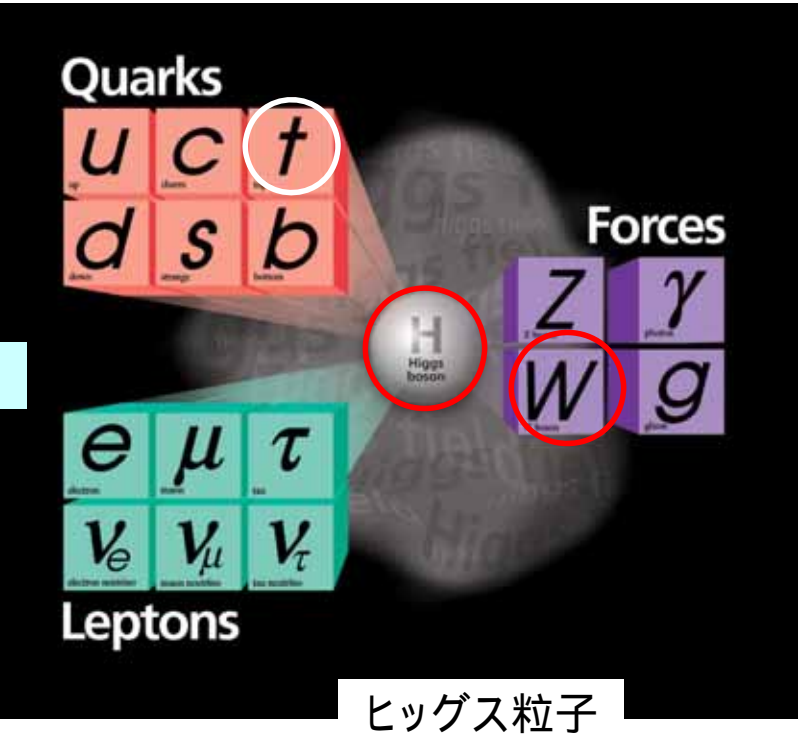
TCHoU セミナー 2022年 5月 27日 13:45~ 受川 史彦

# 標準理論における素粒子一覧

クォーク

物質粒子

レプトン



質量の起源

#### 加速器実験: 重心系エネルギー $\sqrt{s}$

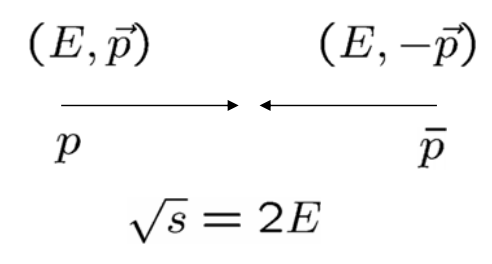
$$s \equiv (p_1^{\mu} + p_2^{\mu})^2$$

Collider とは?

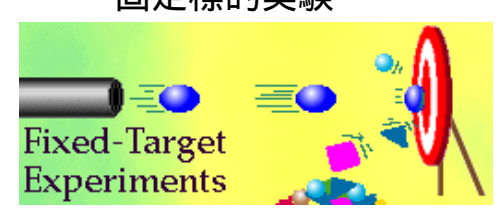
#### ビーム・ビーム衝突型加速器

電子·陽電子 陽子·反陽子 陽子·陽子









$$\sqrt{s} = \sqrt{2mE}$$

# ハドロン・ハドロン衝突実験

電子・陽電子衝突型加速器と比べて高いエネルギーを得やすい.

強い相互作用による生成:反応断面積が大きい.

Where	Name	beams	When	$\sqrt{s}$ (GeV)
CERN	ISR	pp	1970's	50
CERN	SĒPS	$par{p}$	1980's	540 - 630
FNAL	Tevatron	$par{p}$	1985 -	1800 - 2000
CERN	LHC	pp	2009 -	7000 - 14000

歴史を振り返ると重要な役割を果たしてきたことがわかる.

CERN ISR: rising pp cross section CERN SPS:  $W^\pm$  &  $Z^0$  bosons の発見

Tevatron: top quarkの発見

LHC: Higgs の発見

今後も重要: (HL-)LHC: new physics?

新粒子発見だけではない. 精密測定も可.

#### **Fermi National Accelerator Laboratory**



アメリカ合衆国 イリノイ州 Batavia シカゴの西 約 50 km



# Tevatron 加速器

- 米国フェルミ国立加速器研究所 (Fermilab)イリノイ州シカゴ郊外
- 陽子(・反陽子衝突型)加速器
- ビームエネルギー 900 → 980 GeV
- 重心系エネルギー 1800 → 1960 GeV = 1.96 TeV
- Tevatron collider は 1985年より稼動

• 実験 Run-II は 2001年に開始 (2011年9月に終了)

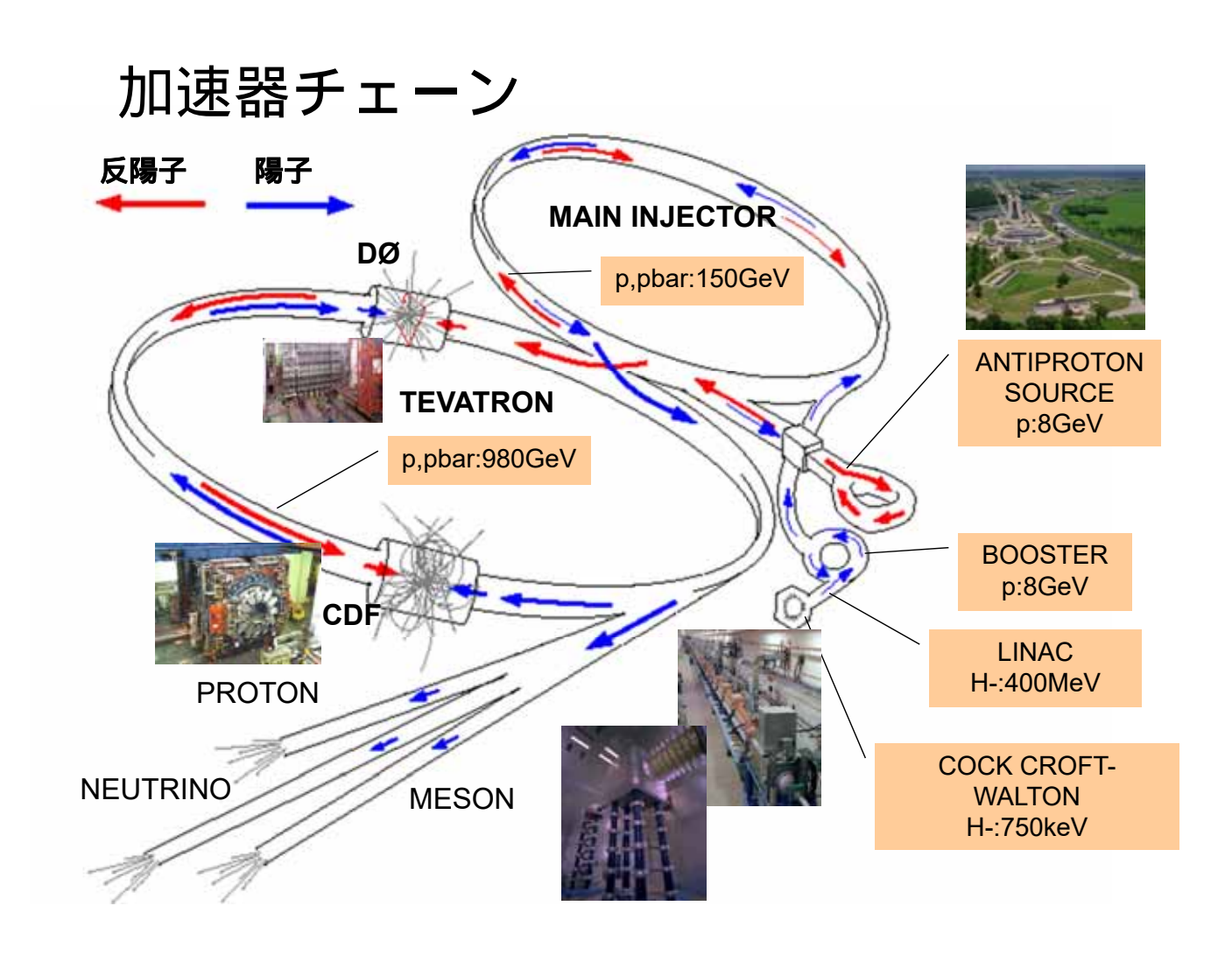
#### 歴史:

1970's 400 GeV Main Ring 常伝導 1980's 800 GeV Tevatron 超伝導 1985 collider at  $\sqrt{s}=1.6$  TeV collider at  $\sqrt{s}=1.8$  TeV 1999 150 GeV Main Injector collider at  $\sqrt{s}=1.96$  TeV



#### **Inside the Tevatron tunnel**





# Wilson Hall 付近 (1999年)

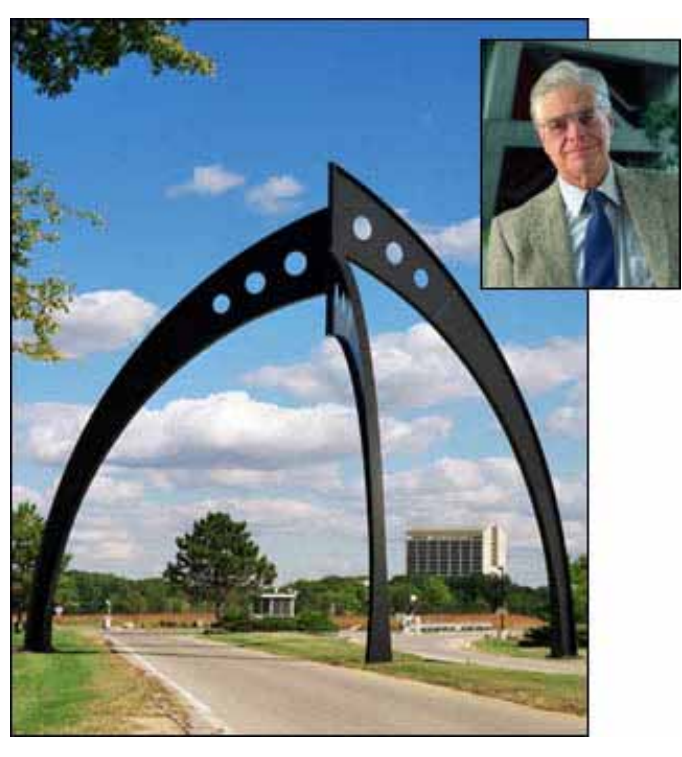


Wilson Hall

# CDF 付近 (1999年)



CDF assembly building



西側の入り口

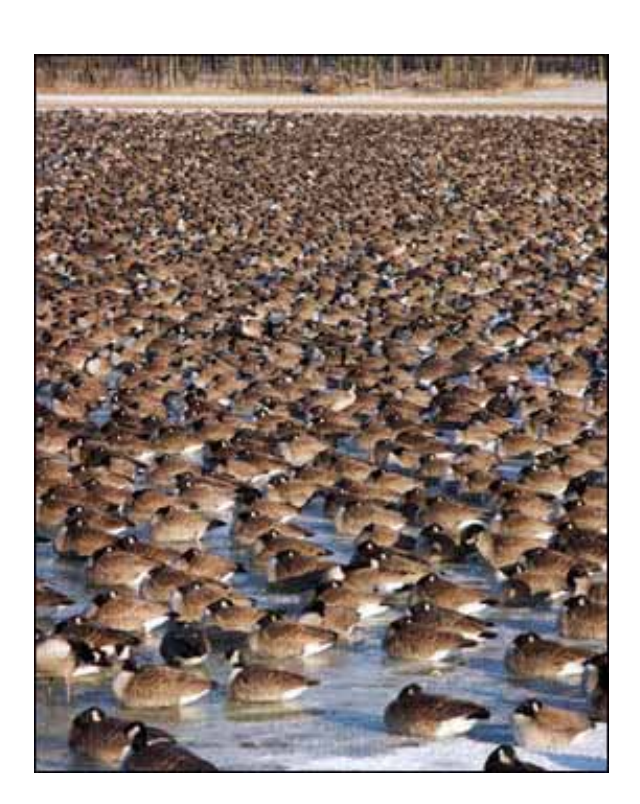
Robert R. Wilson (1914 - 2000) 初代所長



Wilson Hall

## Buffaloes





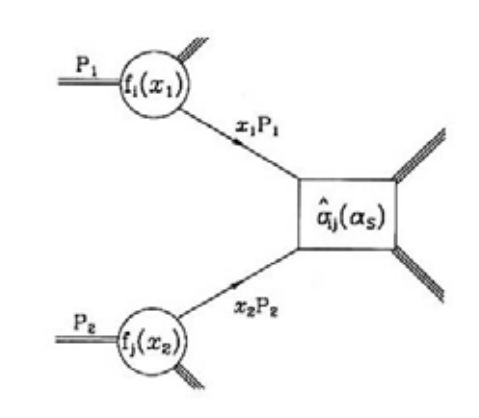
Canadian Geese

#### ハドロン・ハドロン衝突反応の描像・記述

ハドロン:内部構造を持つ. つまり「素粒子」同士の散乱ではない. しかし:ハドロンの構成要素は点である ⇔ parton (quarks and gluons) 充分高いエネルギーでの衝突では、partonsは自由粒子としてふるまう Hard scattering = parton同士の弾性散乱. 他のpartonは関与しない.

Factorization:

$$\sigma(P_1, P_2) = \sum_{i,j} \int dx_1 dx_2 f_i(x_1, \mu^2) f_j(x_2, \mu^2) \times \hat{\sigma}_{ij}(p_1, p_2, \alpha_S(\mu^2), Q^2/\mu^2)$$



parton の運動量:  $p_1=x_1P_1,\ p_2=x_2P_2.$  parton の散乱断面積:  $\widehat{\sigma}_{ij}$   $(i+j\to 何か)$ 

parton 分布関数:  $f_i(x, \mu^2)$ 

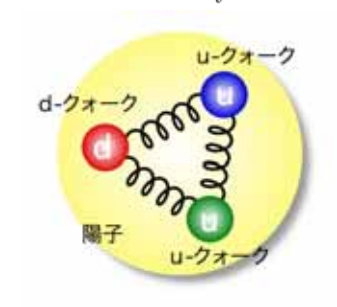
parton 散乱のエネルギーscale:  $Q^2$ 

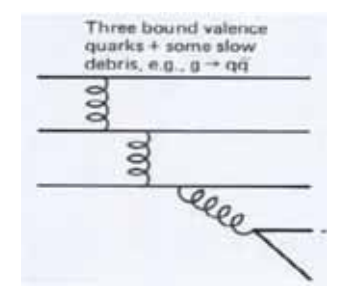
強い相互作用の結合定数:  $\alpha_S(\mu^2)$ 

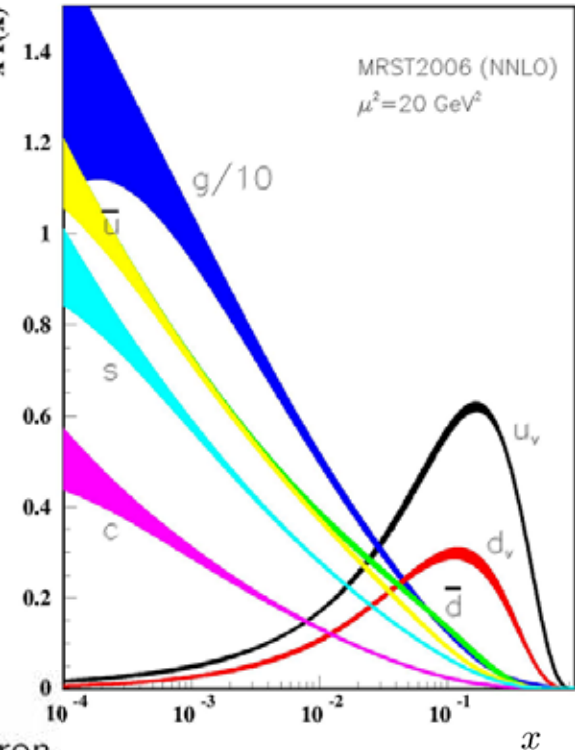
# 陽子内の parton 分布

x: parton の持つ運動量 / 陽子の運動量 f(x): 運動量xPを持つ parton の数の分布

$$\sum_{i} \int_0^1 x f_i(x) dx = 1$$







valence quarks : p = uudによる.

gluons:binds valence quarks to form a hadron.

sea quarks :  $g \rightarrow q \bar{q}$ 

$$f(x) \rightarrow f(x, \mu^2)$$

small x  $\mathcal{C}$  it gluon  $\mathcal{B}$  dominant.

### 陽子・反陽子衝突における種々の反応

beam energy = 900 GeV,  $\sqrt{s}$  = 1.8 TeV

Process	およそのσ	rate at 10 <sup>32</sup>	$N_{\mathrm{ev}}/10^{7}~\mathrm{s}$
inel. coll.	50 mb	5 MHz	$+\infty$
jets	1 mb	100 kHz	たくさん
b quarks	10 $\mu$ b	1 kHz	$10^{10}$
$W^+ \rightarrow \ell^+ \nu$	1 nb	0.1 Hz	10 <sup>6</sup>
top quarks	5 pb	$10^{-2} \; Hz$	20 k

瞬間 luminosity  $\mathcal{L} = 1 \times 10^{32} \text{ cm}^{-2} \text{ s}^{-1}$  とした.

luminosity 足の定義:

$$\frac{dN}{dt} = \mathcal{L}\,\sigma$$

 $\sigma$ : 反応断面積

#### 素粒子反応: 断面積 cross sections

素粒子反応の断面積の単位:

barn (b)  $\equiv 10^{-24} \text{ cm}^2$  を用いるのが普通

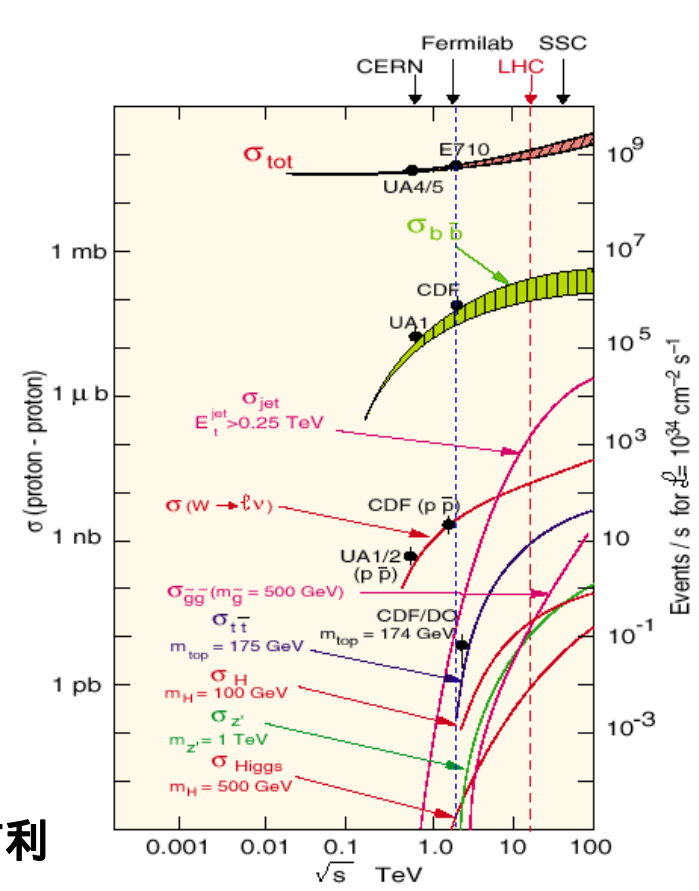
さらに冪乗の補助単位

nano (n) = 
$$10^{-9}$$
, pico (p) =  $10^{-12}$  など

√s とともに増加

特に重い粒子の生成

エネルギーが高いほうが有利



# Collider Detector at Fermilab: CDF実験と検出器

1979	Collaboration formed
1981	Design Report
1982	CDF建設開始
1985	Central Calorimeters, Vertex TPC
	First collisions, $\sim$ 20 events recorded.
1986	CDF検出器完成.
1987	First run. 25 nb $^{-1}$ (some physics results)
1988 - 89	Physics run. $4.5 \text{ pb}^{-1}$ .
1992 - 93	Run Ia. $20 \text{ pb}^{-1}$ .
1994 - 96	Run Ib. $90 \text{ pb}^{-1}$ .
1996 - 00	Upgrade to CDF Run-II detector.
2001 - 11	Run II. 12 fb $^{-1}$ delivered,
	$10 \text{ fb}^{-1}$ recorded.

#### 日米科学技術協力事業

1970年代 日米貿易摩擦,オイル・ショック エネルギー分野での日米連携の開始 高エネルギー物理学は、エネルギーを産み出すと思われた (通訳の誤解?)



Vol. 2, No. 48

RAMSEY ELECTED PRESIDENT OF URA

Dr. Norman F. Ramsey, Higgins pro fessor of physics at Harvard University, has been elected president of Universi-ties Research Association Inc., the corporation that oper ates Fermilab under contract with the Department of Energy.

Elected by the URA

...Ramsey... board acting through

the unexpired term of the late Dr. Milton G. White, who died Oct. 16. Dr. White served as URA president since March.

White had succeeded Ramsey to the post. Ramsey became URA's president shortly after the corporation was organized in 1965. He held that position until White succeeded December 13, 1979

JAPANESE BEGIN COLLABORATION AT FERMILAB

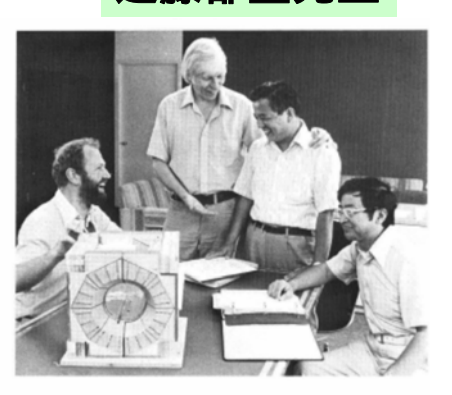
Japanese scientists have begun an extensive collaboration at Fermilab and at other science centers throughout the country.

The collaboration is the result of a high energy physics research agreement between the United States and Japan. addition to the physics project, similar collaboration between the two countries will be conducted in fusion, coal conversion, photosynthesis and geothermal energy. sion, photosynthesis and geothermal energy Besides Fermilab, the other cooperating laboratories in high energy physics are Argonne National Laboratory, Brookhaven National Laboratory, Lawrence Berkeley Laboratory and the Stanford Linear Accelerator Center.

The physics pact will include joint research and experiments into the funda-mental nature of matter and energy. Colla-

(Continued on Page 2)

#### 近藤都登先生



... Prof. Kunitaka Kondo (second from right visits with (L-R) Hans Jensen, Alvin V. Tollestrup and Ryuji Yamada, all with the Fermilab Colliding Detector Facility. On the table before them is a model of the colliding detector...

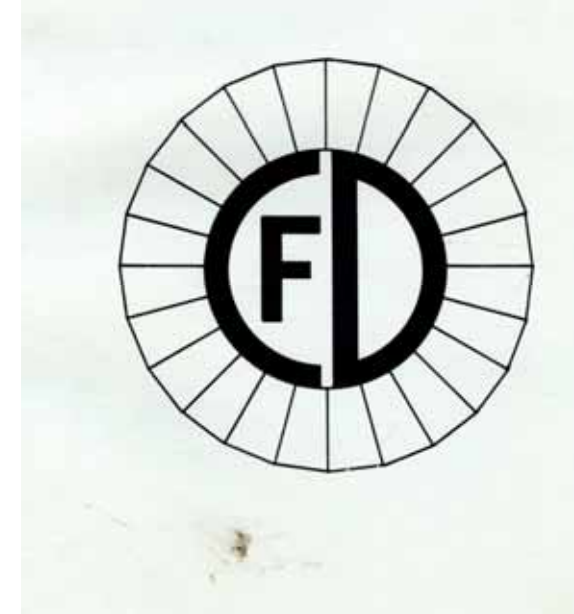
#### DESIGN REPORT

FOR THE

FERMILAB COLLIDER DETECTOR FACILITY

(CDF)

AUGUST, 1981



#### DESIGN REPORT

#### For the Permilab Collider Detector Facility (CDF)

Argonne National Laboratory - D. Ayres, R. Diebold, E. May, B. Musgrave, L. Nodulman, J. Sauer, R. Wagner, A.B. Wicklund

University of Chicago - H. Frisch, C. Grosso-Pilcher, M. Shochet

Fermi National Accelerator Laboratory - M. Atac, F. Bedeschi, A. Brenner, T. Collins, T. Droege, J. Elias, J. Freeman, I. Gaines, J. Grimson, D. Gross, D. Hanssen, H. Jensen, R. Kadel, H. Kautsky, B. Kephart, M. Ono, R. Thatcher, D. Theriot, A. Tollestrup, R. Yamada, J. Yoh

Laboratori Nazionali dell' INFN - Frascati - S. Bertolucci, M. Cordelli, P. Giromini, P. Sermoneta

Harvard University - G. Brandenburg, R. Schwitters

University of Illinois - G. Ascoli, B. Eisenstein, L. Holloway, U. Kruse

KEK - 5. Inaba, M. Mishina, K. Ogawa, F. Takasaki, Y. Watase

Lawrence Berkeley Laboratory - W. Carithers, W. Chinowsky, R. Kelly, K. Shinsky

University of Pisa - G. Bellettini, R. Bertani, L. Bosisio, C. Bradaschia, R. DelFabbro, E. Focardi, M.A. Giorgi, A. Menzione, L. Ristori, A. Scribano, G. Tonelli

Purdue University - V. Barnes, R.S. Christian, C. Davis, A.F. Garfinkel, A. Laasanen

Texas A & M - P. McIntyre, T. Meyer, R. Webb

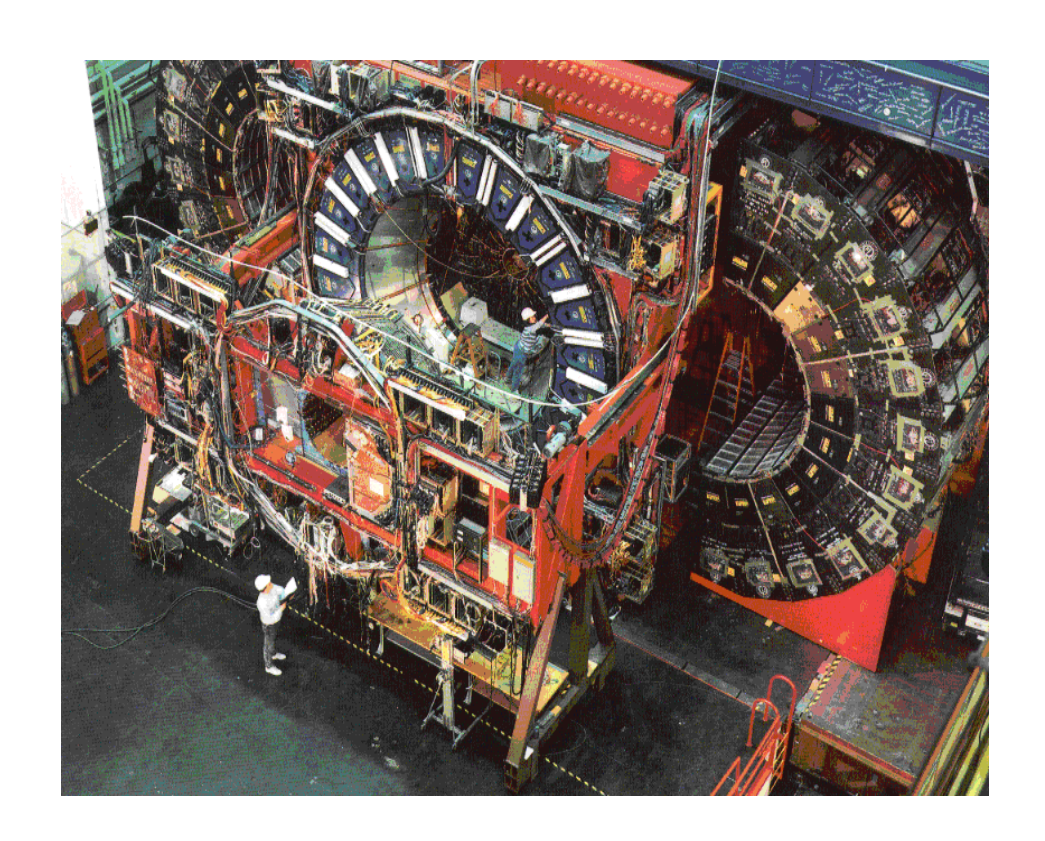
Tsukuba University - Y. Asano, S. Kim, K. Kondo, S. Miyashita, H. Miyata, S. Mori, I. Nakano, Y. Takaiwa, K. Takikawa, Y. Yasu

University of Wisconsin - D. Cline, R. Loveless, R. Morse, L. Pondrom, D. Needer, J. Rhoades, M. Sheaff

#### 日 米 伊



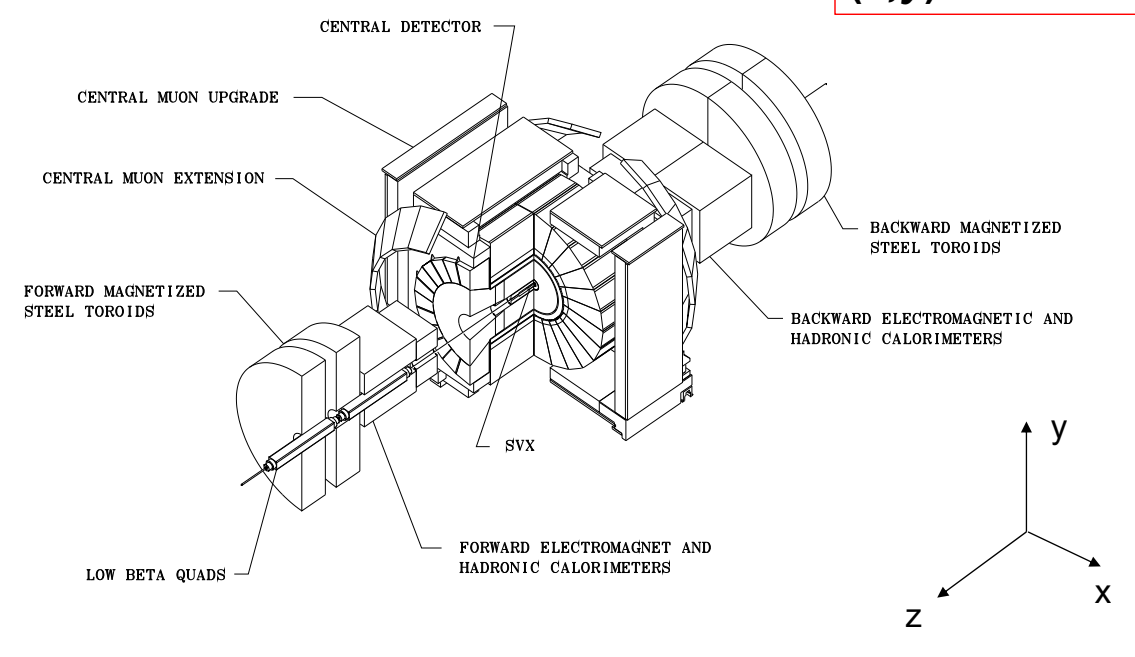
# CDF 中央部検出器 (Run-I まで)



# CDF Detector (Run-Iまで)

円筒座標系

ビーム軸: z(陽子) 動径 r, 角度 θ, φ (x,y) 平面: "横方向"

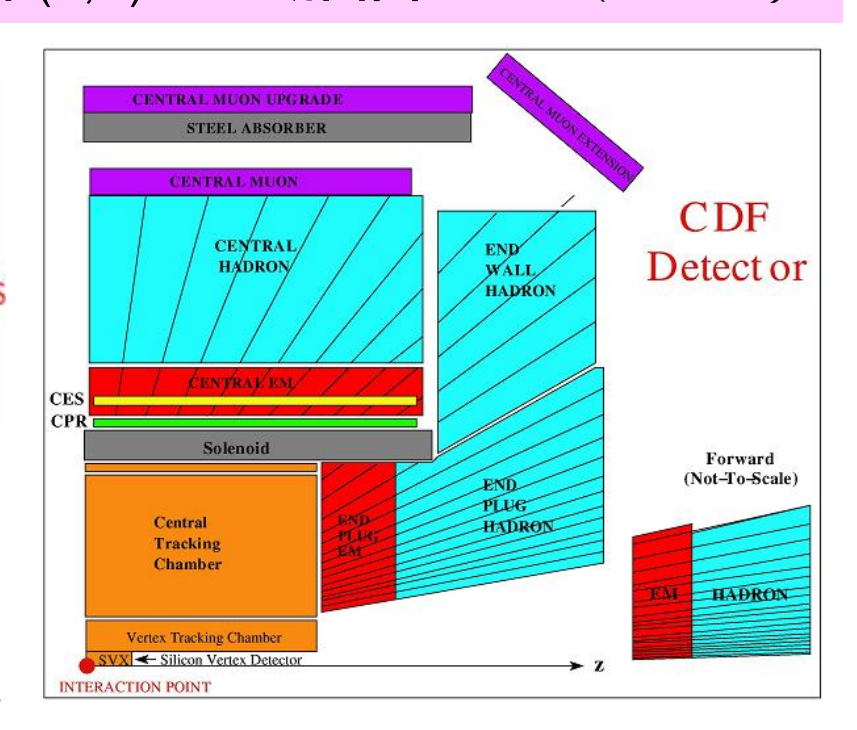


## ビーム軸を含む平面 (r,z) での断面図 ¼部分 (第一象限)

- Muon chambers
- Hadron calorimeters
- Electromagnetic calorimeters
   Shower max detector and preshower detector
- Solenoid

#### 日本グループの貢献 (初代検出器)

- 肉薄超伝導ソレノイド
- プラグ部電磁カロリメータ
- シンチレータ,波長変換板 PMT
- VTPC 読み出しエレキ



· CTC: central tracking chamber

VTX: vertex tracking chamber (TPC)

SVX: silicon vertex detector





1981 1982





Sequence of pictures showing progress in the construction of the collider.

- 1. Before construction.
- 2. Collision Hall CDF.
- 3. Central hadron Cal Shell.
- 4. Wedge, CEM, CHA cal.

1982

10/19/2010

Alvin Tollestrup, Hawaii, Japan-US Accord

#### 1980年代前半 現地での日本グループ研究者

#### 金先生 近藤先生



#### 1.5-Tesla 肉薄 大径 超伝導ソレノイド 3 m × 5 m

筑波大学(物理工学系·森茂樹先生),日立製作所

#### **CDF Solenoid Hitachi 1983**







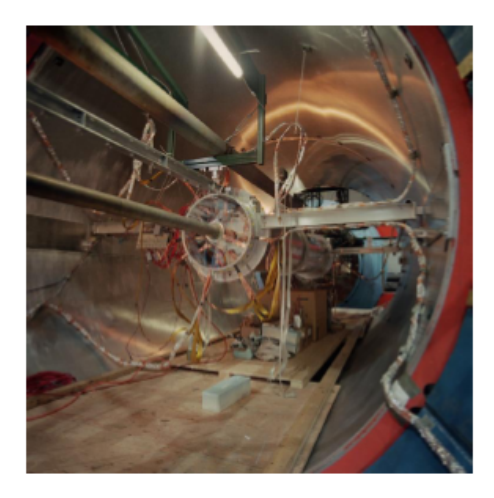
10/19/2010

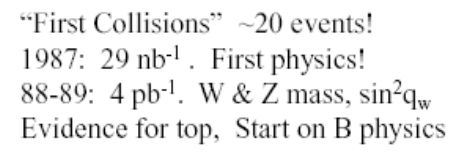
Alvin Tollestrup, Hawaii, Japan-US Accord

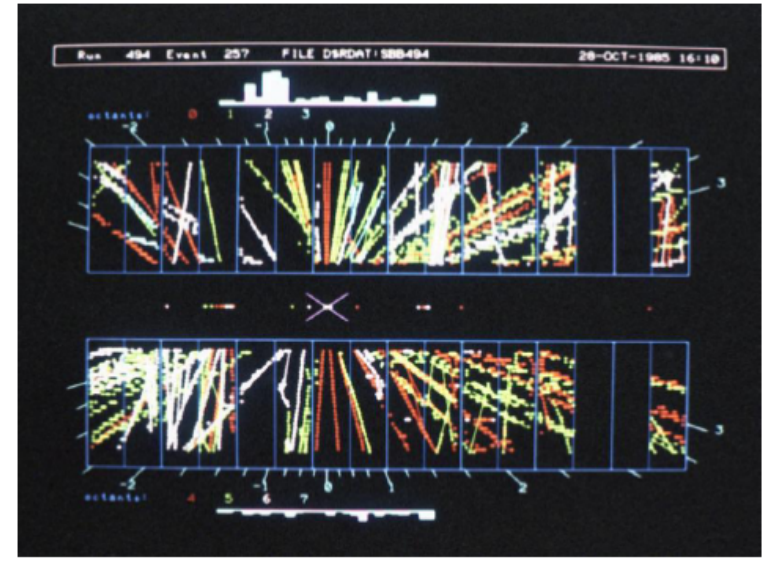
#### チャーター機で空輸、 CDF 検出器の構造体に設置



## First Collisions: October 13, 1985





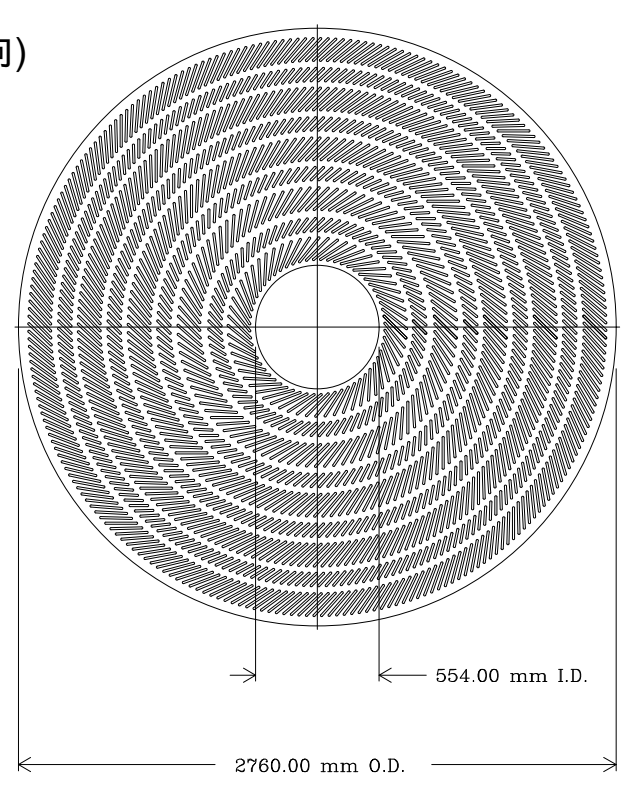


# Central Tracking Chamber CTC

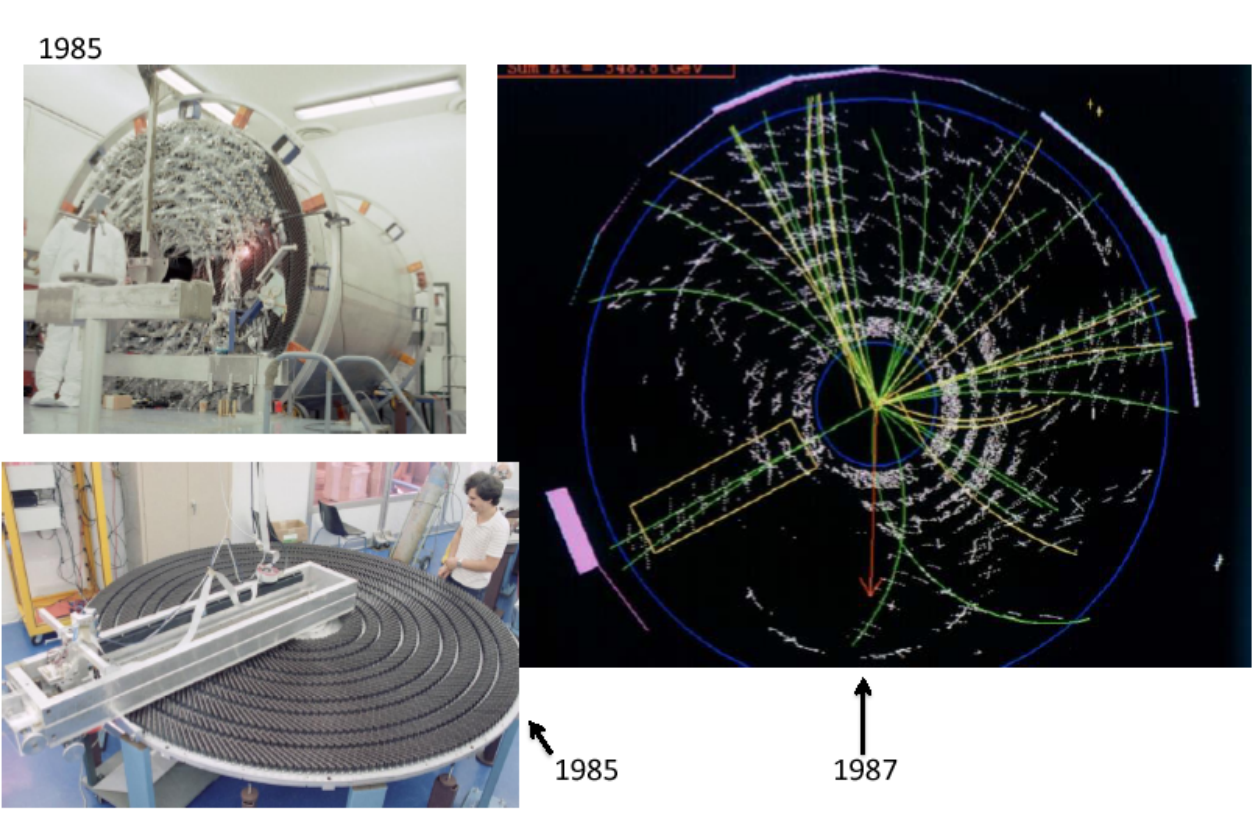
#### 荷電粒子の運動量測定

x-y 平面で円運動 (磁場はz方向)

- Drift chamber inside 1.4-T solenoid.
- 1.4 m in radius, 3 m in length.
- 84 measurement layers, grouped into 9 "superlayers". Resolution  $\sim$  200  $\mu$ m.
- 12  $\times$  5 axial layers, 6  $\times$  4 stereo (3°) layers.
- Measures  $p_{\rm T}\equiv p\,\sin\theta$ , with resolution  $\sigma_{p_{\rm T}}/p_{\rm T}\simeq 0.001\;p_{\rm T}$  with  $p_T$  in units of GeV/c.



#### CDF Central Tracker



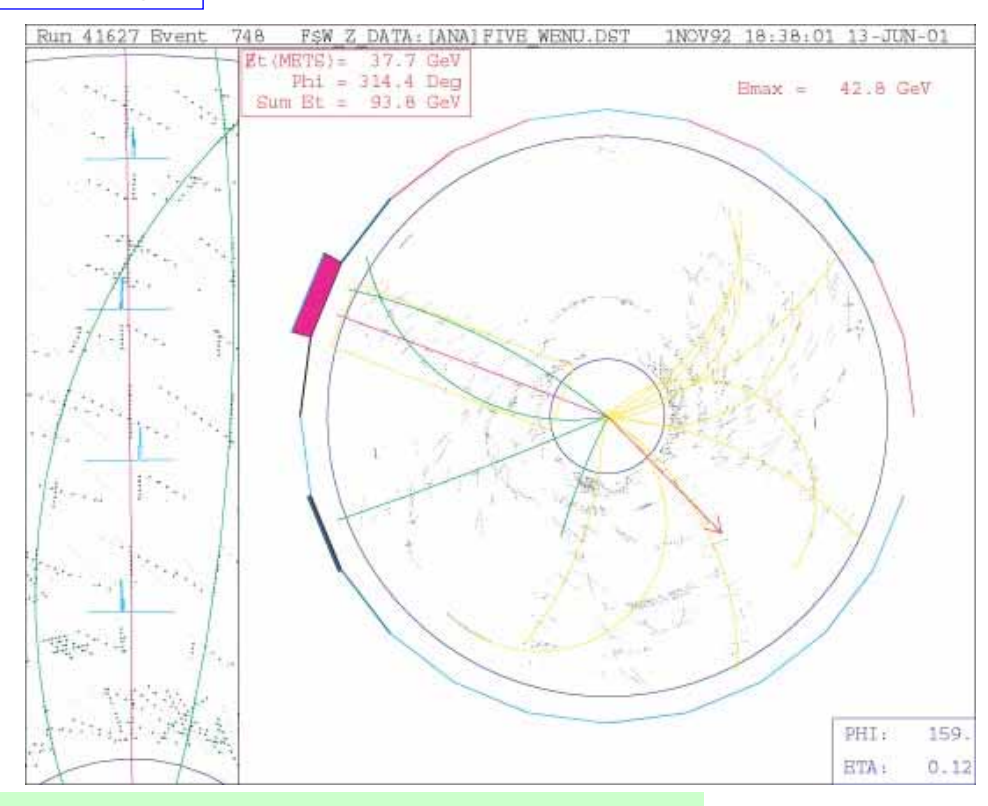
#### **Example of tracking**

B = 1.5 T, r < 1.4 m

82 points along the path

Each point ~200 μm

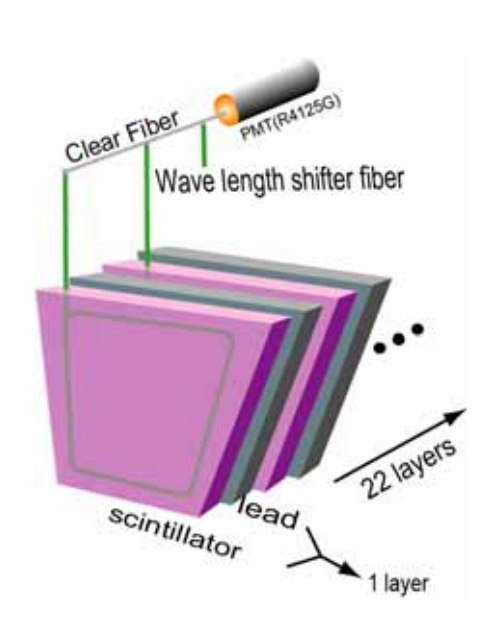
Typical momentum resolution: 0.1%

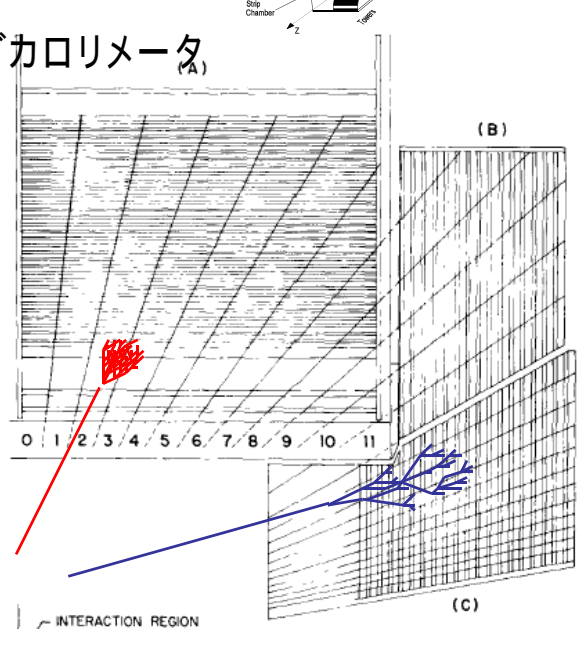


Beams are perpendicular to the picture, collide at the center of the circles

# カロリメータ

- 電磁カロリメータ
  - 鉛/シンチレータのサンプリングカロリメータ
- ハドロンカロリメータ
  - 鉄/シンチレータのサンプリングカロリメータ

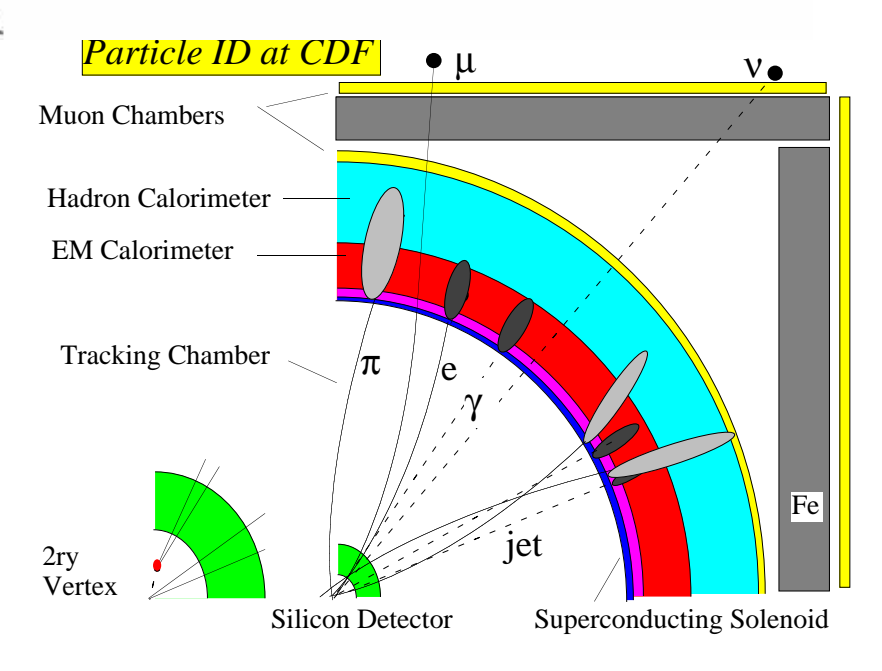




#### 測定するもの

- · Charged particle momenta with CTC.
- Electromagnetic and hadronic energies with calorimeters.  $(e^{\pm}, \gamma, \text{ hadrons})$
- Detect/identify muons with muon chambers.
- Decay vertices of long-lived particles (e.g. B's) with silicon microstrip detector (SVX).
- Missing transverse energy.

種々の粒子の見え方

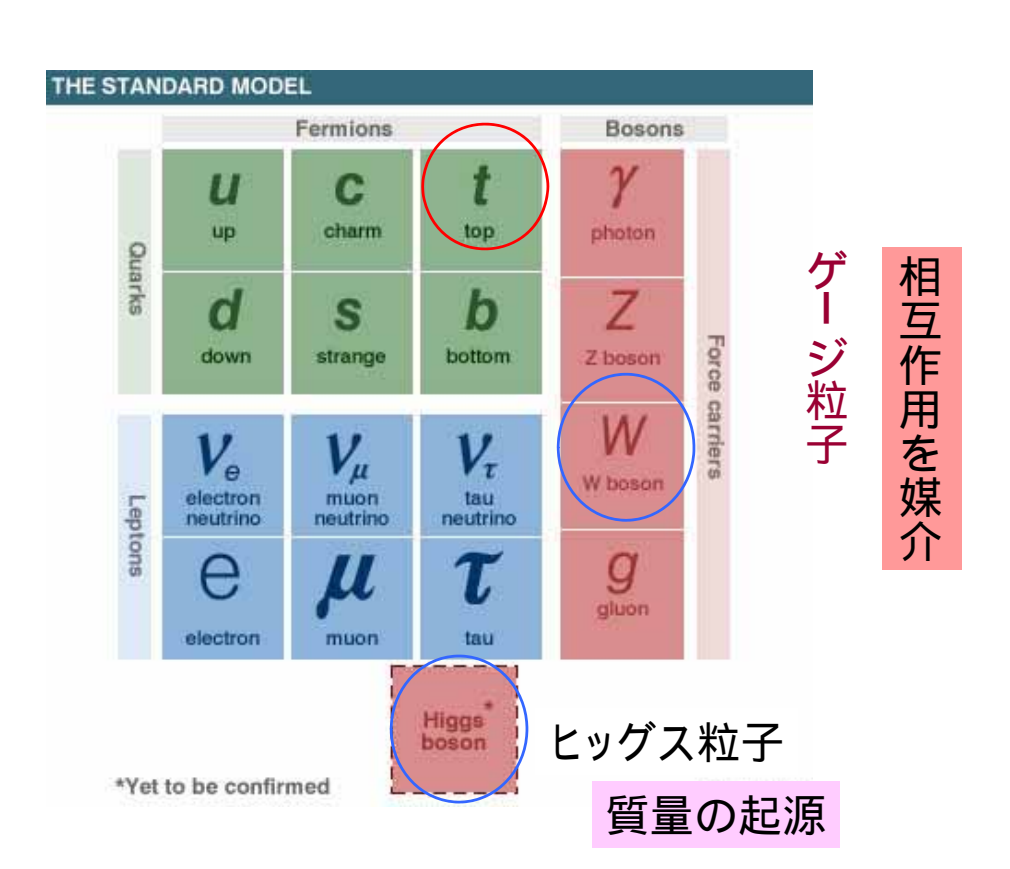


# 標準理論における素粒子一覧

クォーク

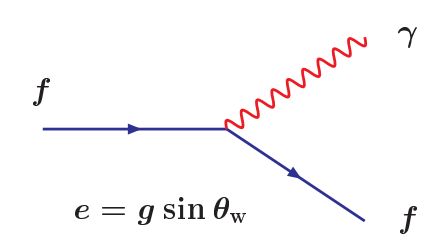
物質粒子

レプトン

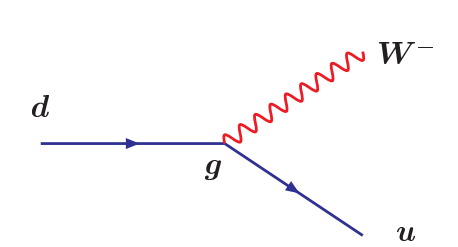


#### $\gamma$ , $W^{\pm}$ , $Z^0$ と fermion の結合

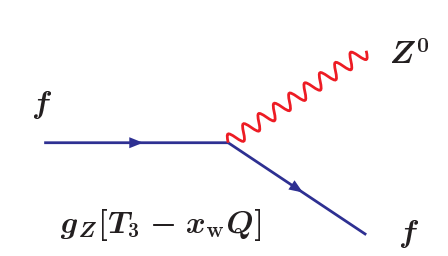
 $\mathcal{L}_{\text{em}} \sim e \, J_{\text{em}}^{\mu} \, A_{\mu}, \ J_{\text{em}}^{\mu} = \bar{\psi} \, \gamma^{\mu} \, Q \, \psi :$  Qはcharge operator,電子の場 $\psi$ に対し $Q\psi = -\psi$ .



 $\mathcal{L}_W \sim g \, W_\mu^\pm \, \bar{\psi}_\perp \, \gamma^\mu \, T^\pm \, \psi_\perp :$ 

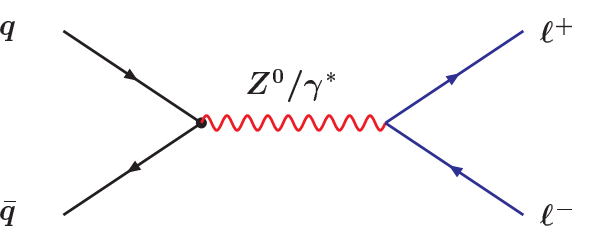


 $\mathcal{L}_Z \sim g_Z Z_{\mu}^0 \, \bar{\psi} \, \gamma^{\mu} [T_3 - x_W Q] \, \psi$ :



## Z<sup>0</sup> の生成,崩壊 at CDF

- ・ クォーク・反クォーク 対消滅
- Z<sup>0</sup> の生成
- 崩壊,例えば荷電レプトン対へ

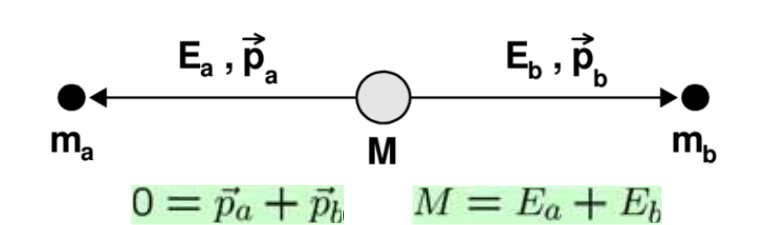


#### 再構成

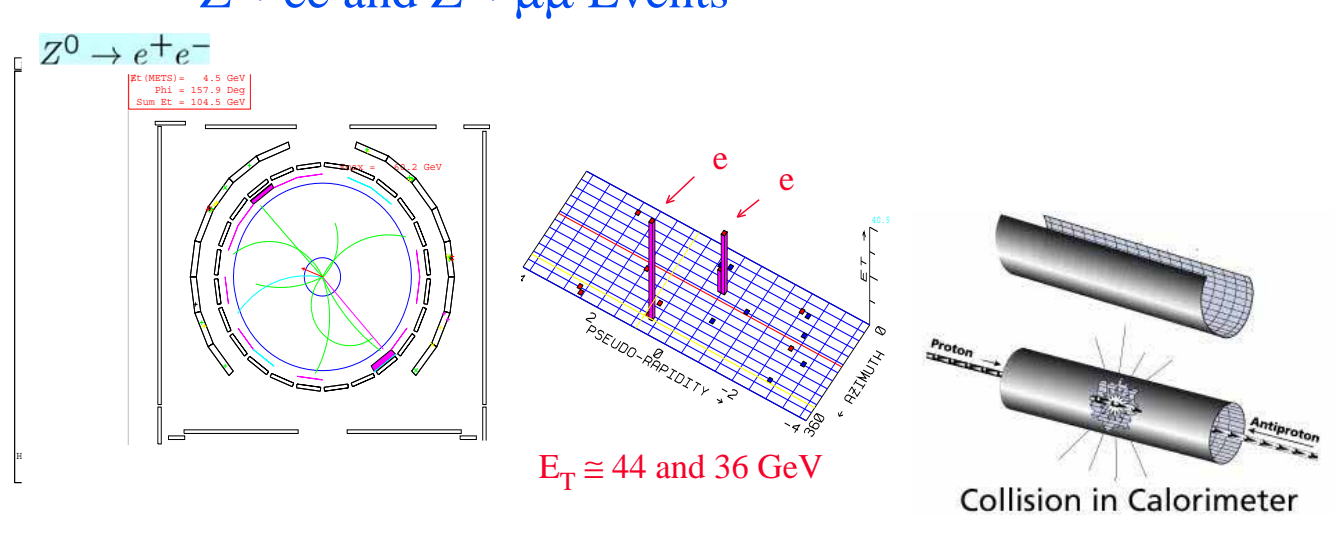
- 終状態のレプトンを2つ捕まえる
- ・ 運動量/エネルギーの測定
- ・ レプトン対の質量を計算
- ・ 質量分布

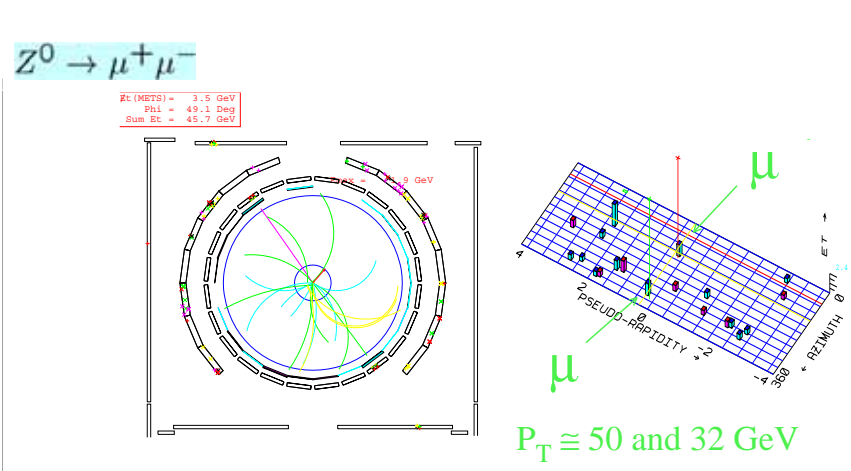
$$M = \sqrt{E^2 - |\vec{P}|^2} = \sqrt{\left(\sum_{i=1}^n E_i\right)^2 - \left(\sum_{i=1}^n \vec{p}_i\right)^2}$$

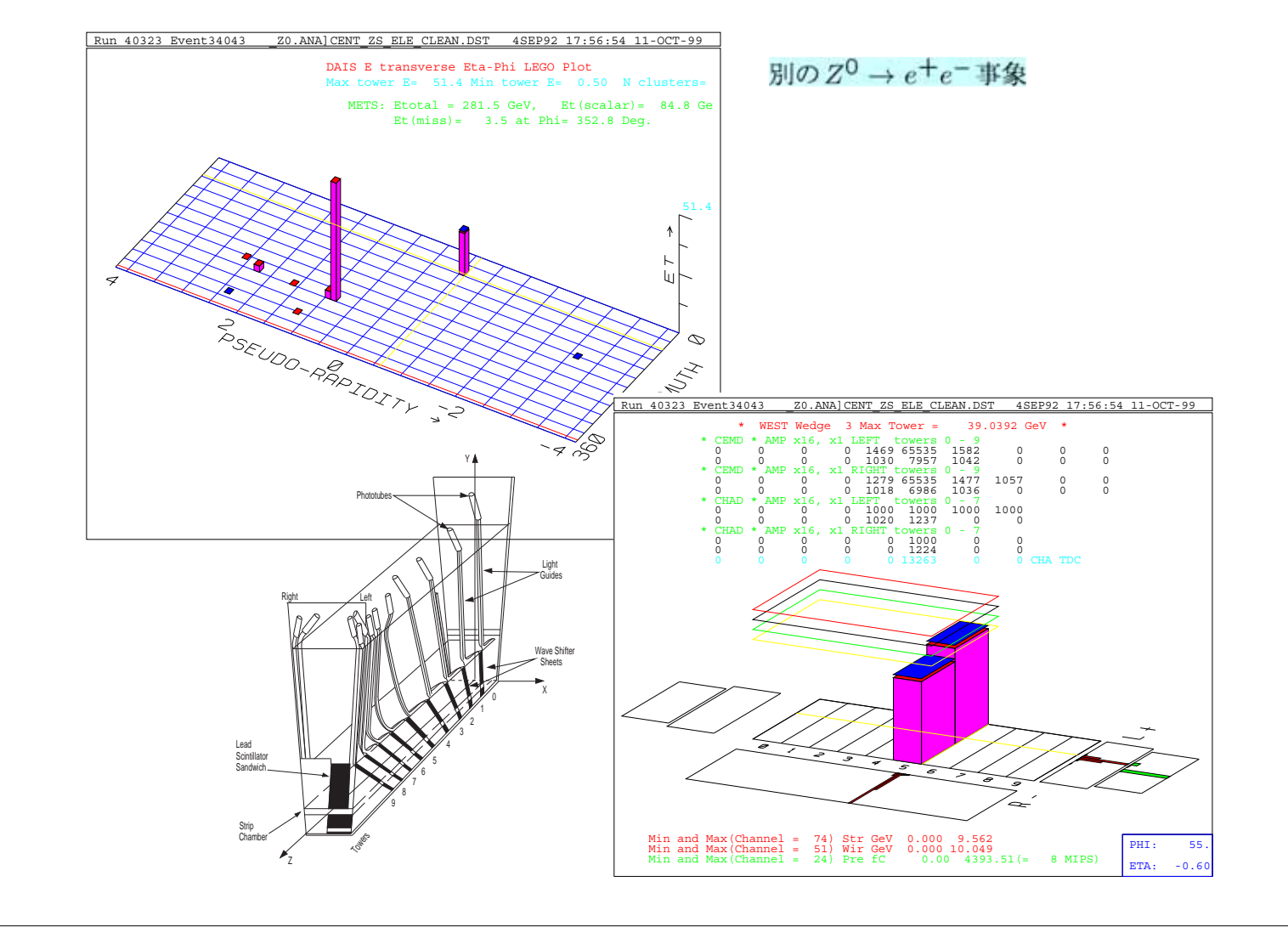
2体崩壊であるので, 親粒子の静止系で考えると:

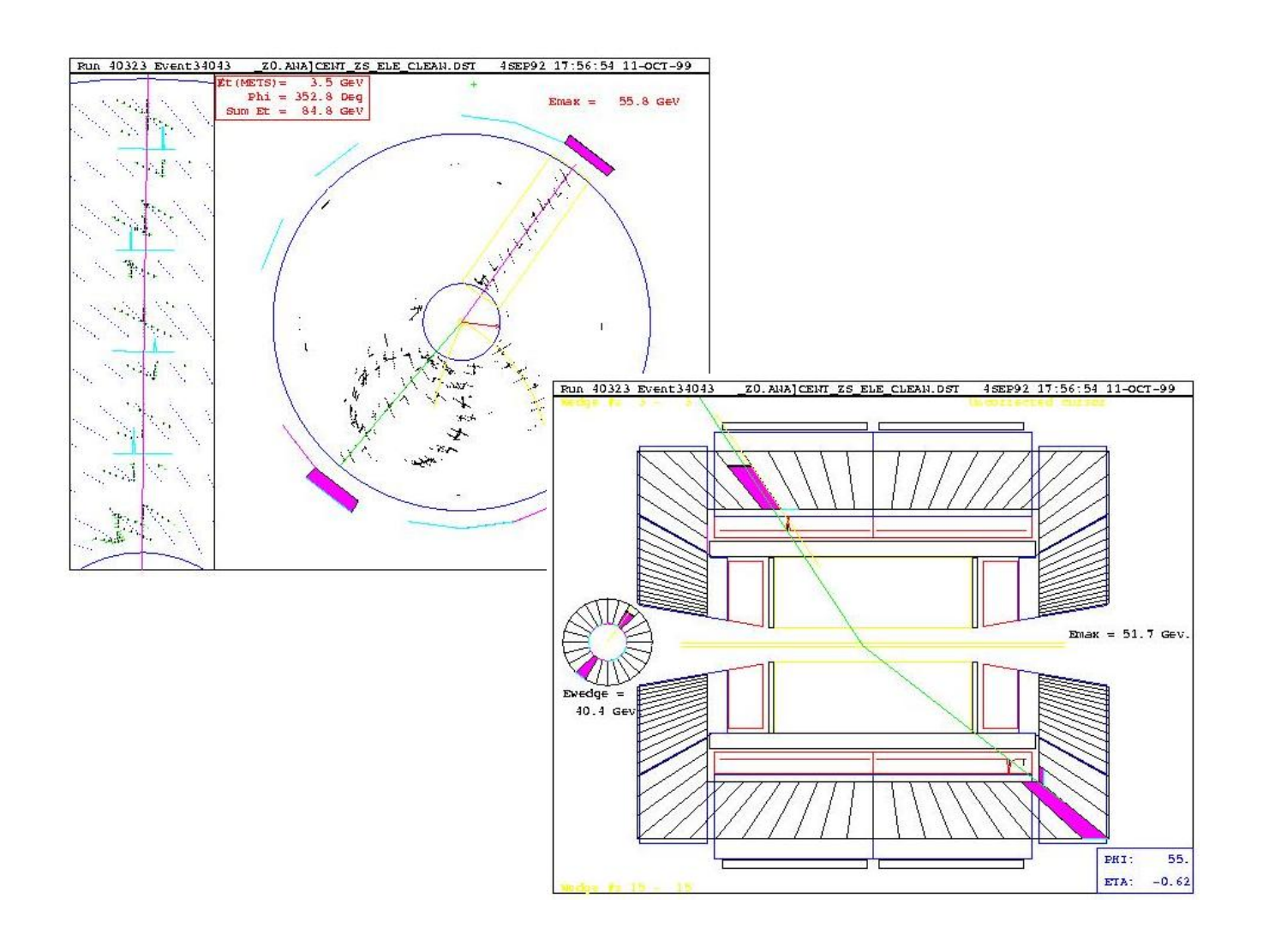


# $Z \rightarrow ee$ and $Z \rightarrow \mu\mu$ Events

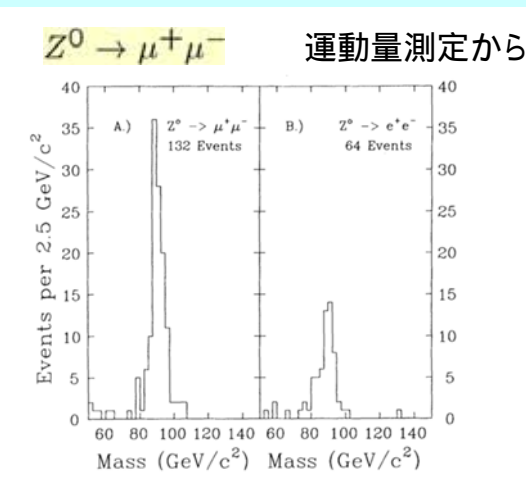








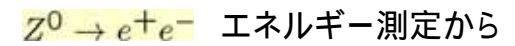
## Z<sup>0</sup> の再構成, 質量の測定

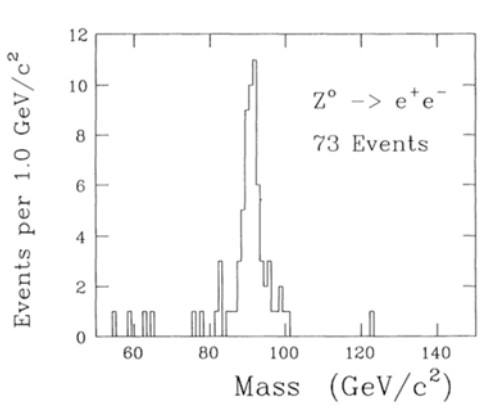


検出器の較正が重要 実データを利用する calibration in situ

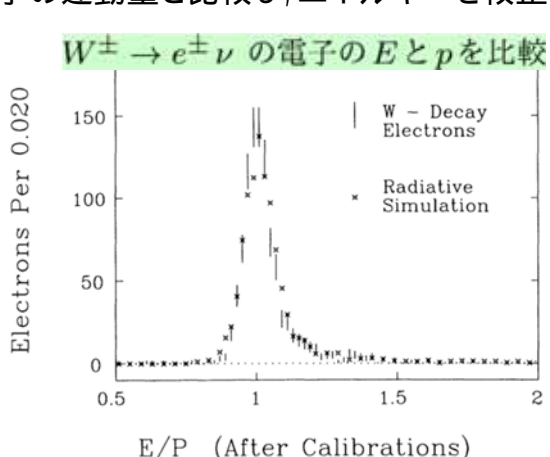
既知の粒子を用いて,運動量を較正

$$K_S^0 \to \pi^+\pi^ J/\psi \to \mu^+\mu^ \Upsilon \to \mu^+\mu^-$$



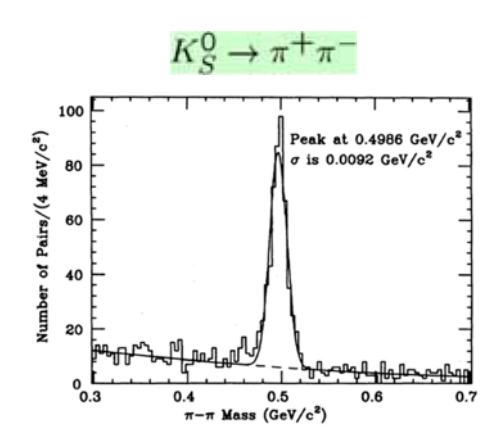


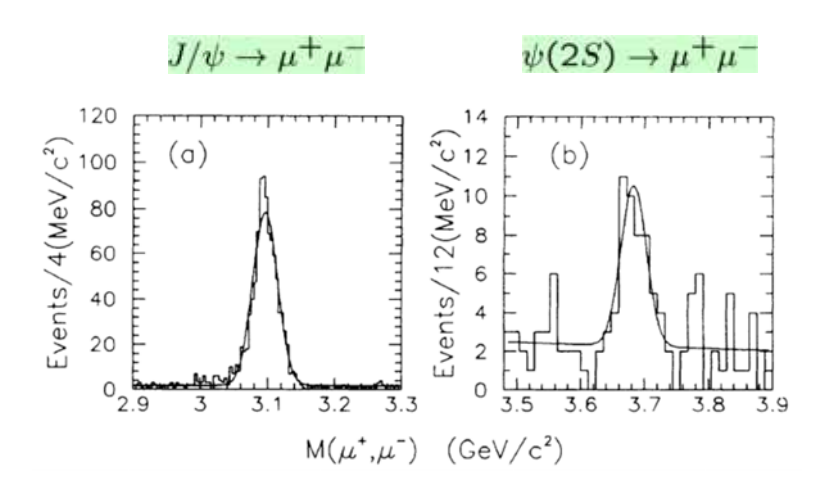
電子の運動量と比較し、エネルギーを較正

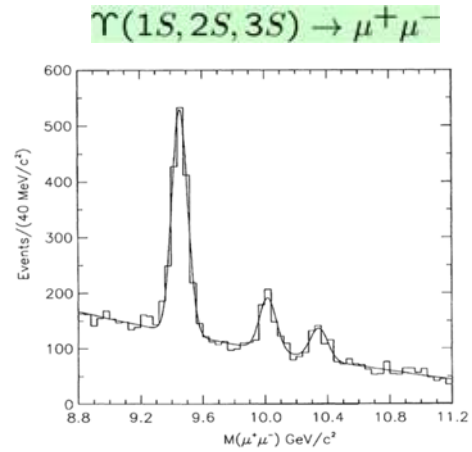


E/P (After Calibrations)

#### 既知の粒子の信号







## Z<sup>0</sup> の再構成, 質量の測定

#### 1989 年当時の精密測定

 $m_{Z^0} = 90.9 \pm 0.3 \text{ (stat + syst)}$  $\pm$  0.2 (scale) GeV/ $c^2$ 

それ以前の精度: 1.5 GeV 程度

VOLUME 63. NUMBER 7 PHYSICAL REVIEW LETTERS

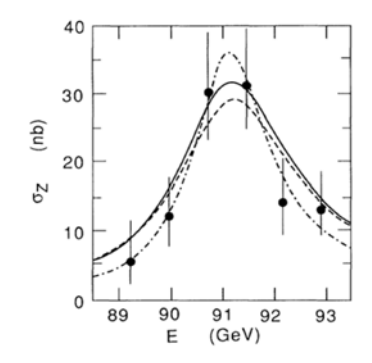
#### Measurement of the Mass and Width of the $Z^{\,0}$ Boson at the Fermilab Tevatron

Measurement of the Mass and Width of the Z <sup>0</sup> Boson at the Fermilab Tevatron

Babharo-Galitier; <sup>(i)</sup> V. E. Barris; <sup>(i)</sup> F. Bosechi, <sup>(i)</sup> S. Bhorlands; <sup>(i)</sup> S. A. R. Baden, <sup>(i)</sup> A. B. Bubberger; <sup>(i)</sup> A. Berteris; <sup>(i)</sup> V. E. Barris; <sup>(i)</sup> F. Bedeschi, <sup>(i)</sup> S. Behrdans; <sup>(i)</sup> S. Bellandar; <sup>(i)</sup> M. Biokley; <sup>(i)</sup> R. Balsi; <sup>(i)</sup> C. Blocker; <sup>(i)</sup> A. W. Booth, <sup>(i)</sup> G. Brandenburg; <sup>(i)</sup> D. Prown; <sup>(i)</sup> E. Buckley; <sup>(i)</sup> A. Byon; <sup>(i)</sup> K. L. Byrum; <sup>(i)</sup> C. Campagnari; <sup>(i)</sup> M. Campbell; <sup>(i)</sup> R. Carey; <sup>(i)</sup> W. Carithers; <sup>(i)</sup> D. Carismith, <sup>(i)</sup> J. T. Carroll, <sup>(i)</sup> R. Cashmore; <sup>(i)</sup> F. Cerrell; <sup>(i)</sup> K. Chadwick, <sup>(i)</sup> G. Chilarelli, <sup>(i)</sup> W. Chinowsky, <sup>(i)</sup> S. Chiangir, <sup>(i)</sup> A. G. Clark, <sup>(i)</sup> D. Connor. <sup>(i)</sup> M. Dell'Oreo; <sup>(i)</sup> L. Delloriter; <sup>(i)</sup> P. F. Derwent, <sup>(i)</sup> T. Devlin, <sup>(i)</sup> D. DiBlitont, <sup>(i)</sup> R. B. Drucker, <sup>(i)</sup> J. E. Elias, <sup>(i)</sup> R. Ely, <sup>(i)</sup> S. Errede, <sup>(i)</sup> B. Esposito, <sup>(i)</sup> B. Flaugher; <sup>(i)</sup> E. F. Ceardelli, <sup>(i)</sup> G. W. Foster; <sup>(i)</sup> M. Frankin, <sup>(i)</sup> J. Freeman, <sup>(i)</sup> H. Frisch, <sup>(i)</sup> P. Figher, <sup>(i)</sup> P. Fig

#### Accepted without review at the request of John Peoples under policy announced 26 April 1976

#### その時の競争相手: SLAC SLC の Mark II 実験



Rimondi, (11) L. Ristori, (11) T. Rohaly, (16) A. Roodman, (11) A. Sansoni, (12) R. D. Sard, (17) A. Savoy-Navarro, (16) V. Scarpine, (17) P. Schlabach, (17) E. E. Schmidt, (16) M. H. Schub, (11) R. Schwitter, (16) A. Scribano, (11) S. Segler, (16) Y. Scelger, (16) W. Schoel, (17) B. Schwitter, (18) A. Scribano, (17) S. Segler, (18) Y. Schwitter, (18) A. Stefanin, (17) S. Segler, (18) Y. Scarpine, (18) S. Stefanin, (17) F. D. Snider, (18) R. St. Denix, (16) A. Stefanin, (17) R. L. Swartz, Jr., (19) M. Takano, (16) K. Takikawa, (10) S. Tareni, (19) T. Dreitot, (16) M. Timko, (17) P. Tipton, (19) S. Takacoy, (18) A. Stefanin, (17) P. Tipton, (19) S. Tikacoy, (18) A. Stefanin, (17) P. Tipton, (18) S. Tikacoy, (18) A. Stefanin, (17) P. Tipton, (18) S. Tikacoy, (18) A. Stefanin, (17) P. Tipton, (19) P. Tipton, (19) S. Tikacoy, (18) A. Stefanin, (19) P. Tipton, (19) S. Tikacoy, (18) A. Stefanin, (19) P. Tipton, (19) S. Tikacoy, (18) A. Stefanin, (19) P. Tipton, (19) S. Tikacoy, (18) A. Wagner, (19) R. Uncervood, (18) M. Vidal, (18) R. Webb, (19) C. Wendt, (19) W. C. Wester, (11), (19) T. Westhusing, (10) S. White, (19) A. Wickland, (19) H. H. Williams, (18) B. Winter, (19) A. Yagal, (14) A. Yamashita, (16) J. C. Yun, (14) and F. Zetti (11)

uoka, 10<sup>(4)</sup> G. P. Yeh, 10<sup>(4)</sup> J. Yoh, 10<sup>(4)</sup> M. Yokoyama, 10<sup>(4)</sup> J. C. Yun, 10<sup>(4)</sup> and F. 11<sup>(4)</sup> Argonne National Laboratory, Argonne, Hilmus 60439

"Brandets University, Waltham, Massachusetts 92234

"Dements University of Chicage, Chicage, Hilmus 60637

"Permit National Accelerator Laboratory, Battura, Hilmus 6071

"Permit National Accelerator Laboratory, Battura, Hilmus 6072

10<sup>(4)</sup> Laboratory, Combridge, Massachusetts 02138

"University of Hilmol, Milmus 16318

"University of Hilmol, Milmon, Hilmus 16318

"Chicage, Battur, Hilmus 16418, Hilmus 16418

"Chicage, Battur, Hilmus 16418, Hilmus 16418

"Chicage, Battur, Hilmus 16418

"Chicage, Battur, Hilmus 16418

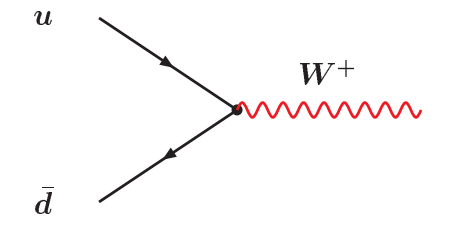
"Pataba University, West Lafayette, Indiana 47607

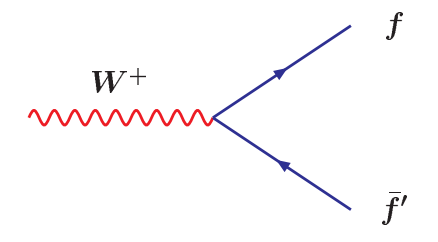
"Packefelle University, Mest Lafayette, Indiana 47607

"Packefelle University, Mester Laboratory, Mester

Accepted without review at the request of John Peoples under policy announced 26 April 1976

## W<sup>±</sup> boson の生成・崩壊





崩壊様式: $e^+\nu$ ,  $\mu^+\nu$ ,  $\tau^+\nu$ ,  $u\bar{d}$ ,  $c\bar{s}$ .

割合(およそ): 1 1 1 3 3

 $W^{\pm} \rightarrow e^{\pm} \nu$ ,  $W^{\pm} \rightarrow \mu^{\pm} \nu$  を用いる ニュートリノ  $\nu$  は検出できない

⇒ 運動量保存から推測する

- $\ell^+\nu$  final states clean.  $\mathcal{B} \simeq 1/9$ .
- How do you detect the neutrino? You don't.
  - $\rightarrow$  missing transverse energy.

$$\vec{p}_T^{\,\nu} \equiv \vec{E}_T \equiv -\sum_i \vec{E}_T^i$$

The sum is over all calorimeter towers i.

ullet In LO,  $ec p_T^W \simeq {\sf O}.$  Then  $ec p_T^\ell \simeq -ec p_T^
u.$ 

ビーム軸:zとする

Transverse: x-y 平面

始状態:  $p_x = p_y = 0$ 

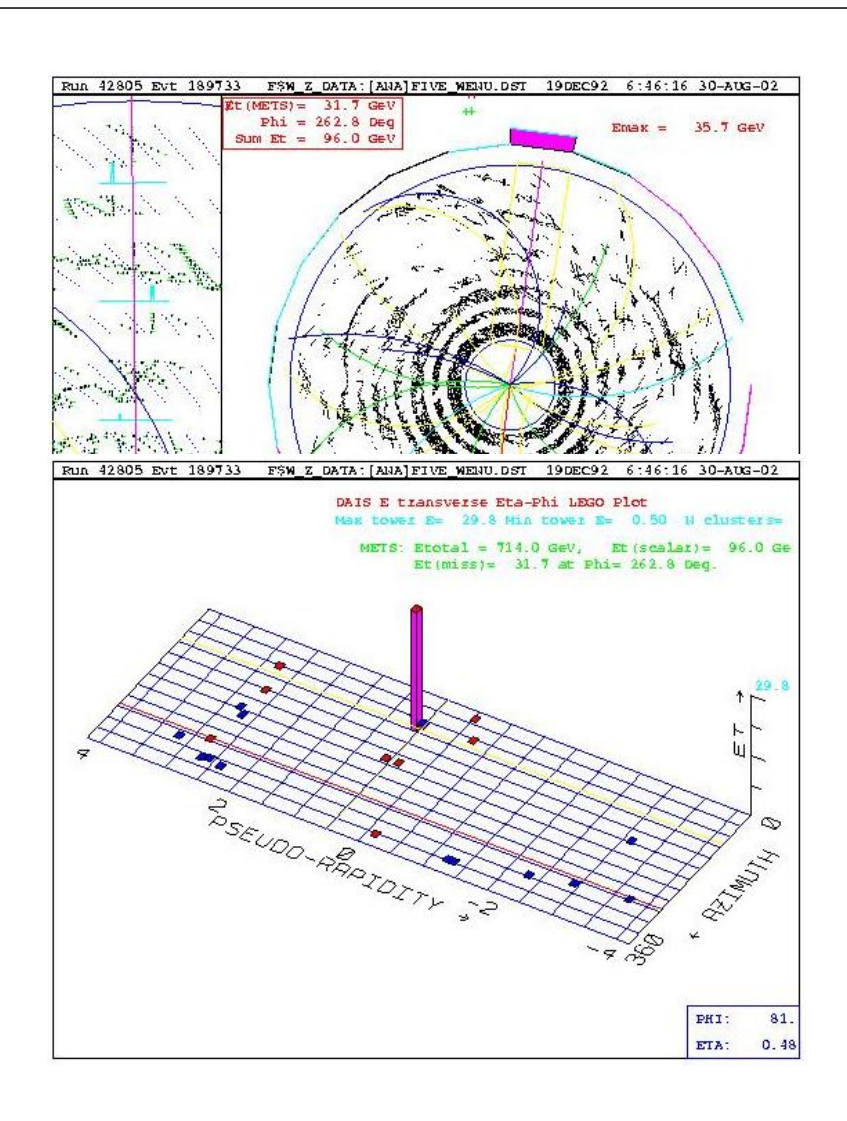
終状態:  $p_x = p_y = 0$  のはず

#### $W \to e \nu$ 候補事象

 $\phi \simeq 90^\circ$ に電子(あるいは陽電子) $E_T = 35.7~{
m GeV}$ 他に顕著な ${
m energy~deposit}$ はない

赤い矢印が $missing\ E_T$ の方向ほぼ $\phi\simeq 270^\circ$ 大きさ  $31.7\ GeV$ 

つまり  $ec{p}_T^\ell \simeq -ec{p}_T^
u$ 



#### CDF での $W \to \ell \nu$ の初観測

測 1987:25 nb<sup>-1</sup>

 $p_x^{
u}$ 、 $p_y^{
u}$ は測定可能

ふつうは

- high  $p_T$  lepton (> 25 GeV/c)
- large missing  $E_T$  (> 25 GeV/c)

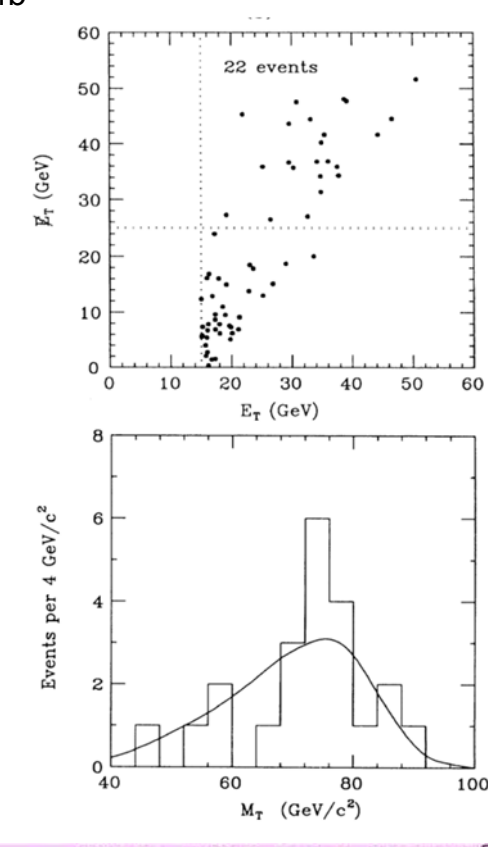
を要求すると、BGは充分小さくなる

 $p_z^{\nu}$ は不可能  $\Rightarrow \ell \nu$  系の質量は再構成できない

Transverse mass (x-y平面での質量) を用いる

$$M_T^2 \equiv 2 p_T^{\ell} p_T^{\nu} (1 - \cos \Delta \phi)$$

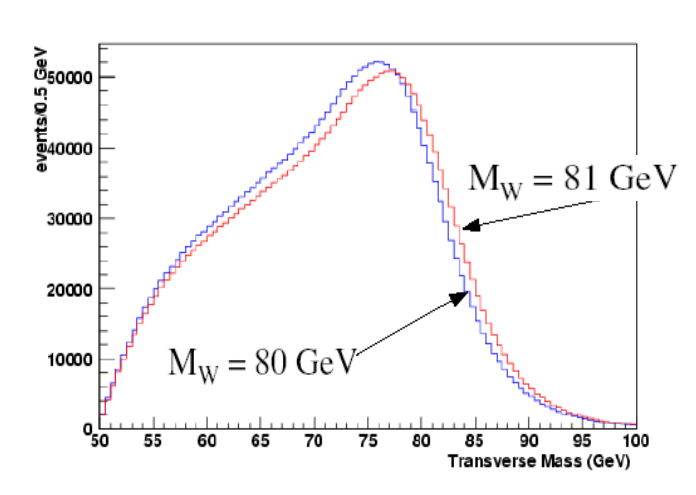
 $dN/dp_T^\ell$ ,  $dN/dp_T^
u$  および $dN/dM_T$ の分布:  $\sim M_W/2$  と  $\sim M_W$ に peak を持つ Jacobian peak と呼ぶ(変数変換による)



 $m_W = 80.0 \pm 3.3 \pm 2.4 \text{ GeV}/c^2$ 

## Measuring the W mass

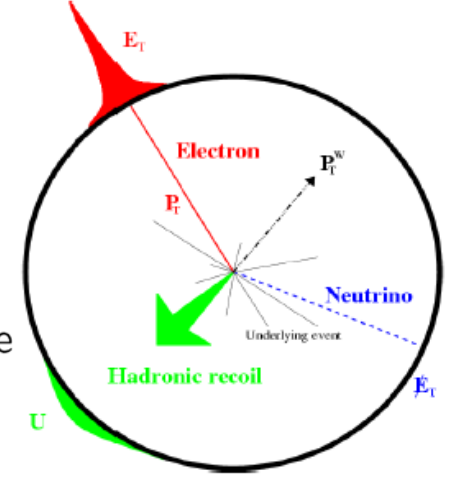
Transverse mass :  $m_T \equiv \sqrt{2 p_T^{\ell} p_T^{\nu} (1 - \cos \Delta \phi^{\ell \nu})}$ 



Jacobian peak at  $\sim m_W$ Lorentz invariant under boost in z

 $p_T^{\nu} = \text{missing } E_T$ 

Lepton energy and hadronic recoil contribute to missing energy resolution.



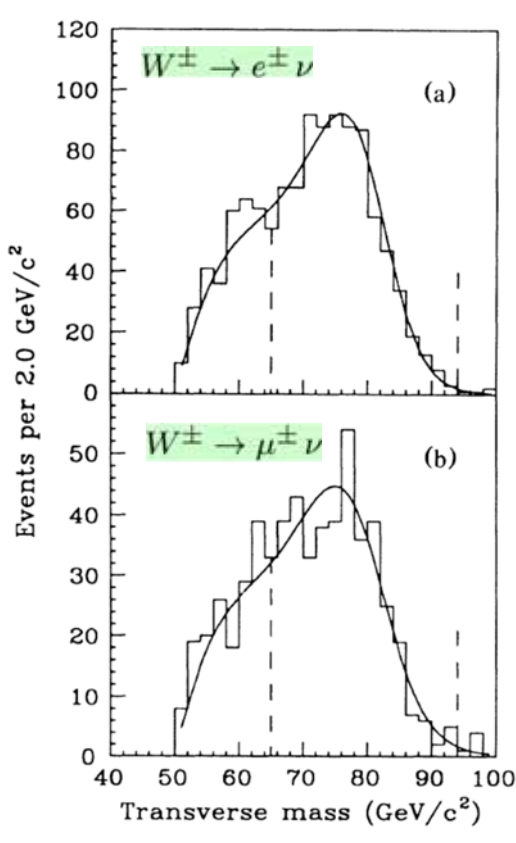
#### Wボソン質量の本格測定

 $1988-89: \sim 4 \text{ pb}^{-1}$ 

Transverse mass (x-y平面での質量) を用いる

$$M_T^2 \equiv 2 p_T^{\ell} p_T^{\nu} (1 - \cos \Delta \phi)$$

 $dN/dp_T^\ell$ ,  $dN/dp_T^\nu$  および $dN/dM_T$ の分布:  $\sim M_W/2$  と  $\sim M_W$ に peak を持つ Jacobian peak と呼ぶ(変数変換による)



 $m_W = 79.91 \pm 0.39 \text{ GeV}/c^2$ 

#### W ボソンの質量を測定する意義

- 標準理論の粒子の質量はパラメータ: 実験的に決定する必要あり
- 標準理論では、W ボソンの質量はヒッグス場による
- 量子効果により、粒子間の質量が制限される



Marciano and Sirlin, 1980 Barger, Hewett, Rizzo, 1990

mixing angle  $\sin^2 \theta_{W}$  ( $\equiv x_{W}$ ) is defined via

$$x_W = 1 - M_W^2 / M_Z^2 \tag{2.1}$$

and the radiatively corrected Z mass can be expressed as

$$M_Z^2 = \frac{A}{x_W(1 - x_W)(1 - \Delta r)}$$
, (2.2)

where  $A \equiv \pi \alpha(m_e)/\sqrt{2}G_F \simeq (37.28022 \text{ GeV})^2$  for  $\alpha^{-1}(m_e) = 137.0359895$  and  $G_F = 1.166389 \times 10^{-5}$  GeV<sup>-2</sup>. The effects of the radiative corrections are contained in  $\Delta r$  which depends on  $M_Z$  and the masses of the top quark  $(m_t)$  and Higgs boson  $(m_H)$ . For given values

$$\Delta r \propto m_t^2$$

 $\Delta r \propto \ln(m_h/m_Z)$ 

#### 1990年ころの状況

Z ボソンの精密測定(LEP)

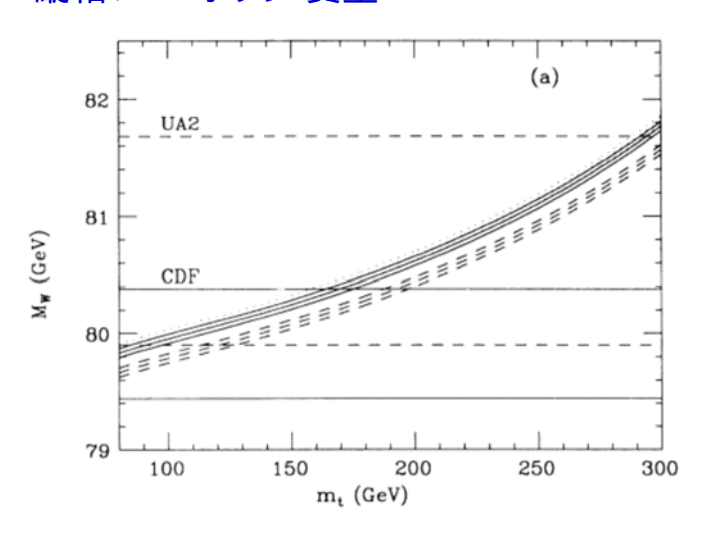
• Top quark は未発見

• 直接探索 W ボソンより重い

• 間接測定: 矛盾しない,きわめて重い

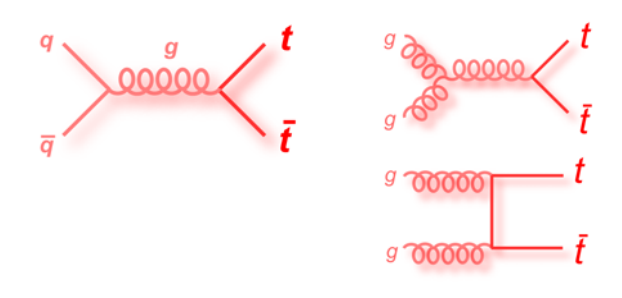
B0-B0 混合からも

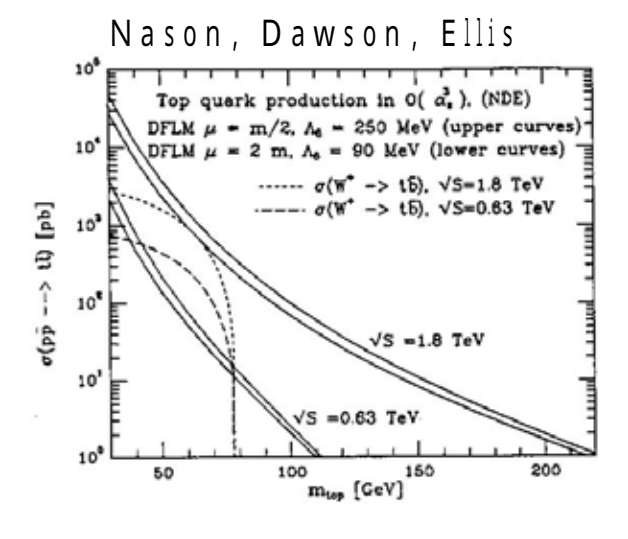
横軸: Top quark 質量 縦軸: W ボソン 質量



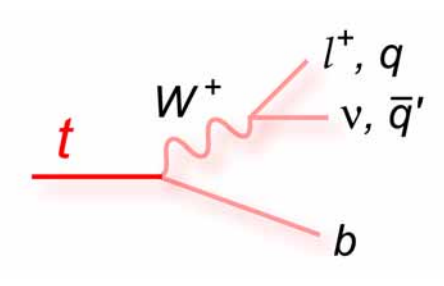
Barger, Hewett, Rizzo, 1990

#### Top quark の生成

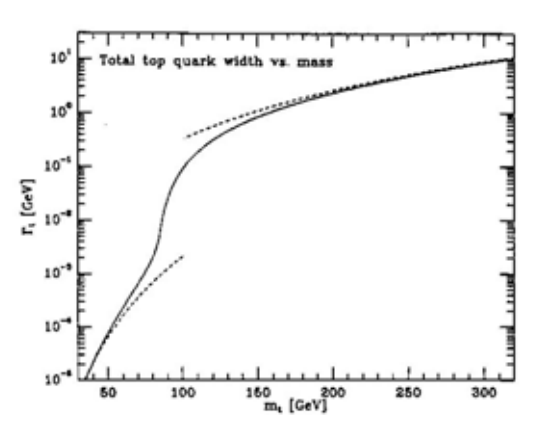




## Top quark の崩壊

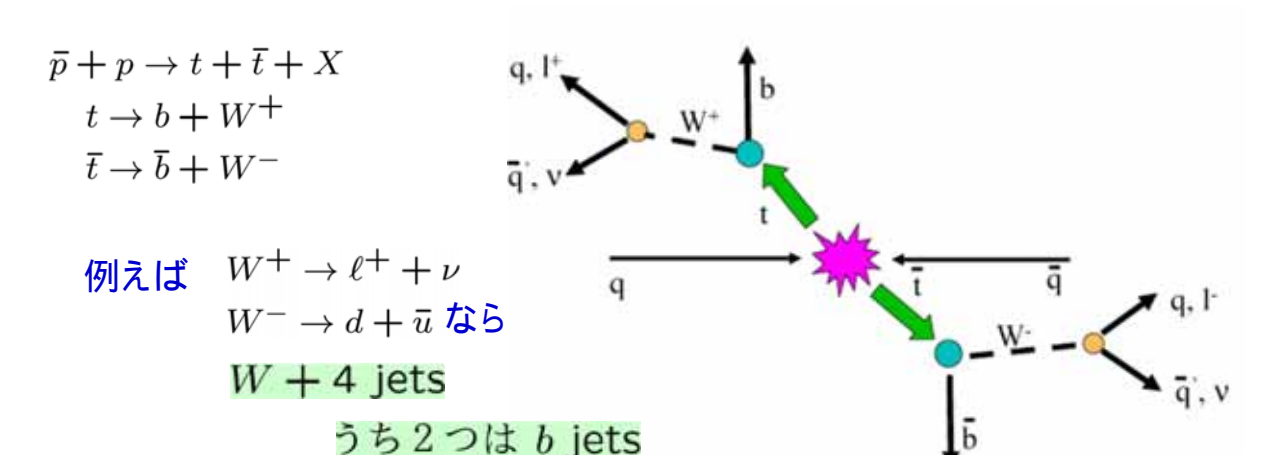


Decay width  $\Gamma_t = \mathcal{O}(1 \text{ GeV})$ 



#### CDF Run-I: 1992 - 1996

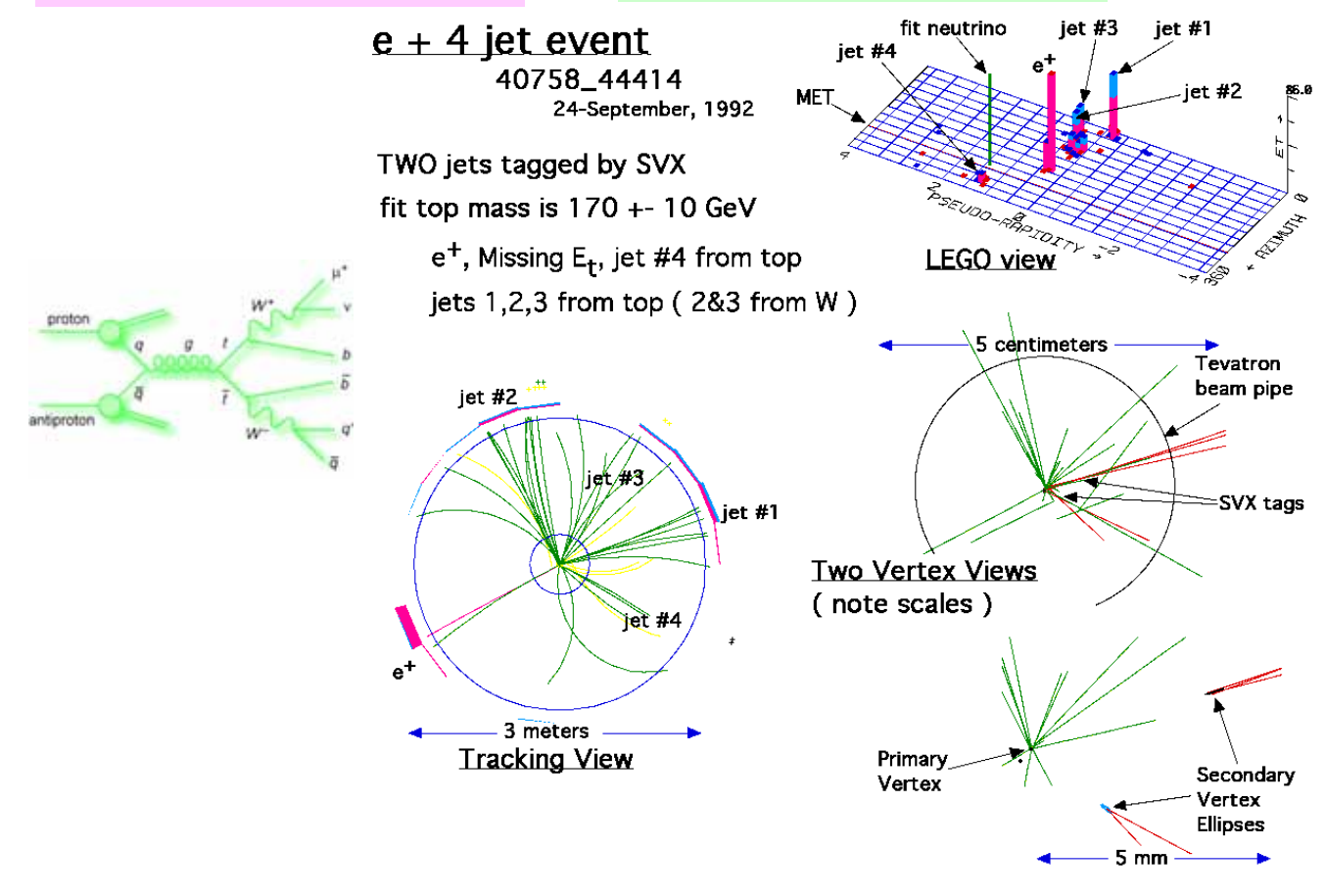
 $110 \ {\rm pb^{-1}}$ 



例えば 
$$W^+ \to \ell^+ \nu$$
  $W^- \to \ell'^- \bar{\nu}$  なら Di-lepton  $+2$  jets  $2$  つとも  $b$  jets

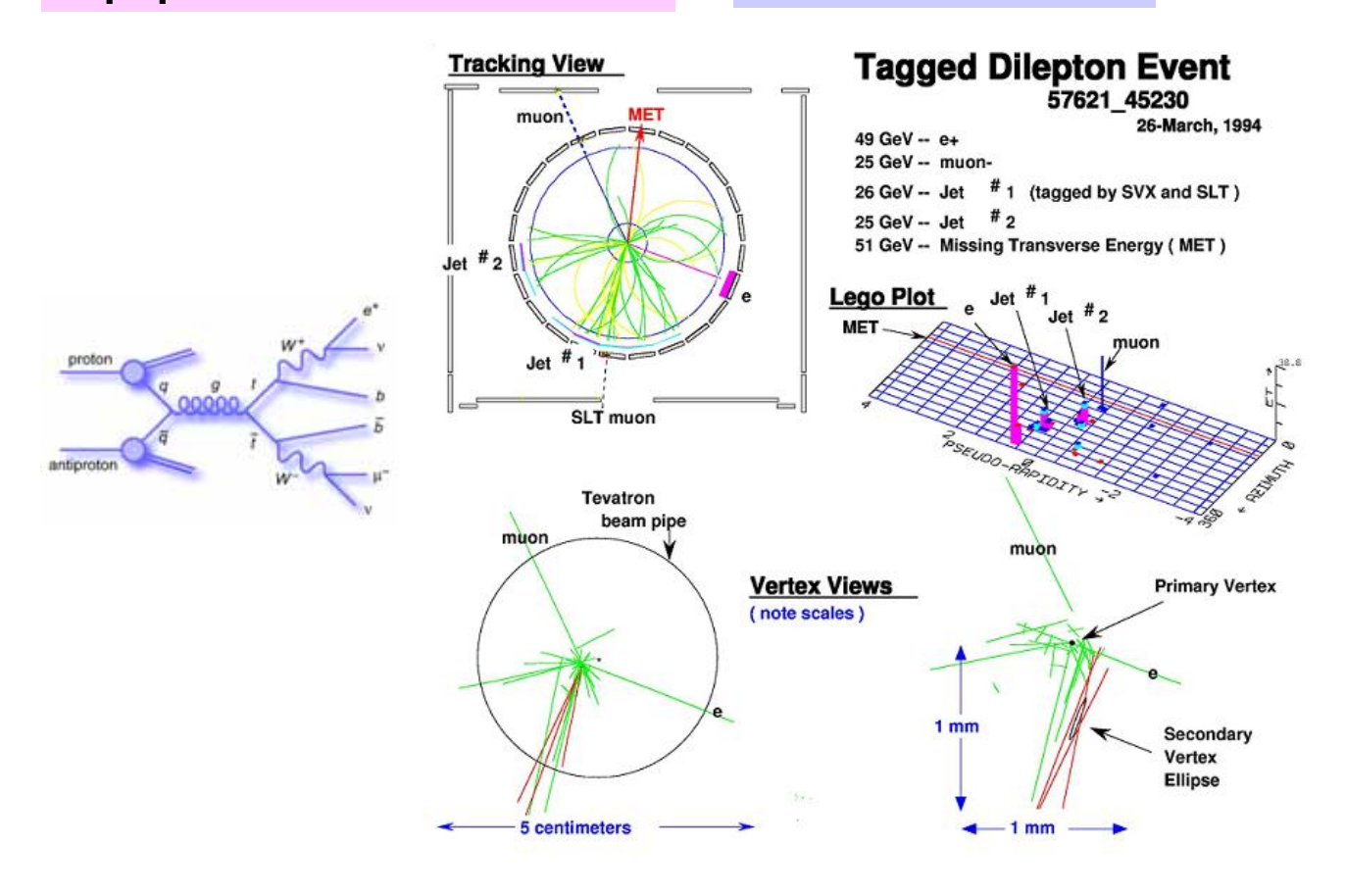
### Top quark 対 候補事象

#### Lepton + jets channel



## Top quark 対 候補事象 その2

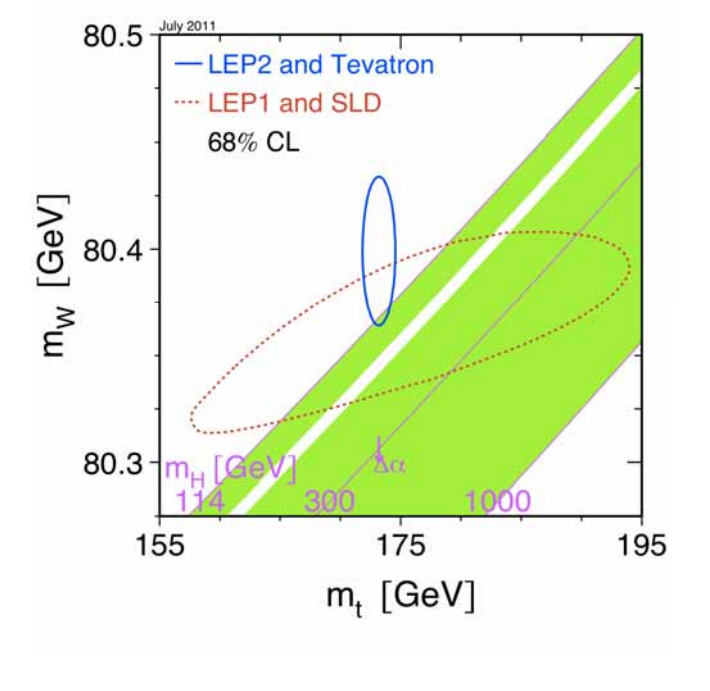
#### **Di-lepton channel**

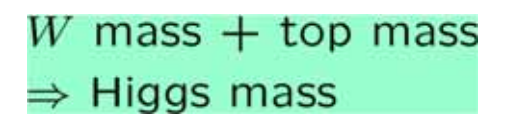


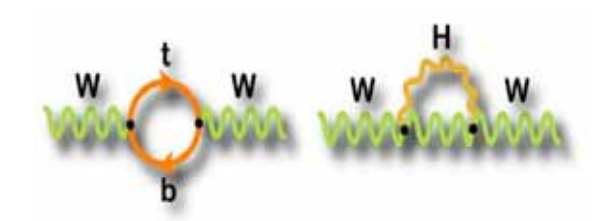


#### Top quark 発見後 しばらくして

 $m_{\rm top} = 173.2 \pm 0.6 \pm 0.8 \; {\rm GeV}/c^2$ July 2011



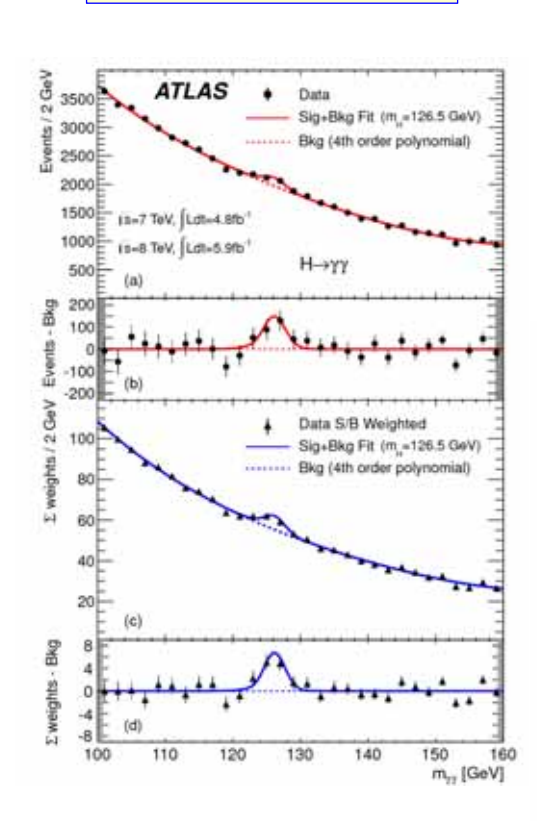




#### ヒッグスは軽いようだ

$$m_H = 92^{+34}_{-26} \text{ GeV}/c^2$$

#### Higgs 粒子の発見 2012





Physics Letters B lume 716, Issue 1, 17 September 2012, Pages 1-29

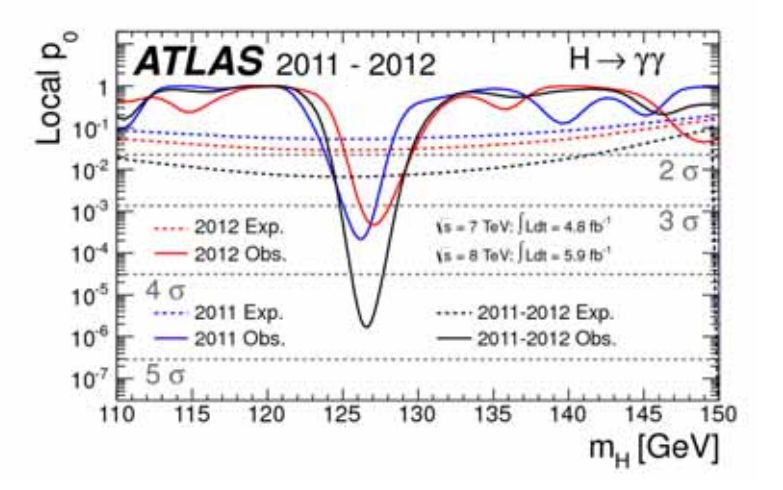


collisions sed ollected

Observation of a new particle in the search for the Standard Model Higgs boson with the ATLAS detector at the LHC ★

isly in the 7 · 4ℓ and

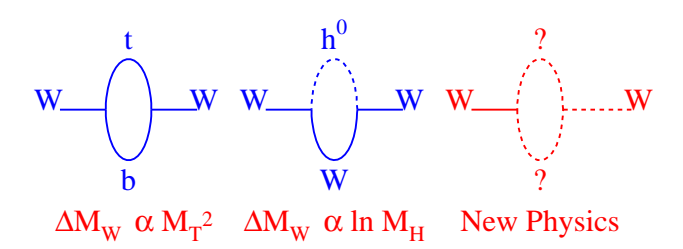
 $H \to \gamma \gamma$  channels in the 7 TeV data. Clear evidence for the production of a neutral boson with a measured mass of  $126.0 \pm 0.4~({\rm stat}) \pm 0.4~({\rm sys}){\rm GeV}$  is presented. This observation, which has a significance of 5.9 standard deviations, corresponding to a background fluctuation probability of  $1.7 \times 10^{-9}$ . is compatible with the production and decay of the Standard Model Higgs boson.

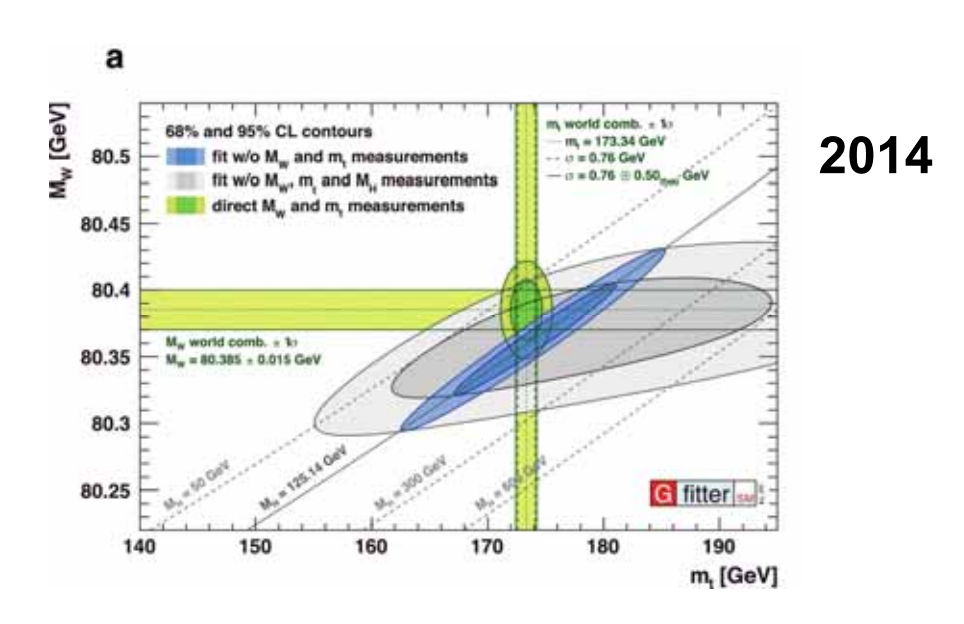


# Higgs 粒子の発見後

 $m_{\mathsf{top}}$ ,  $m_W$ ,  $m_{\mathsf{higgs}}$  すべて測定

標準理論と整合? 矛盾?



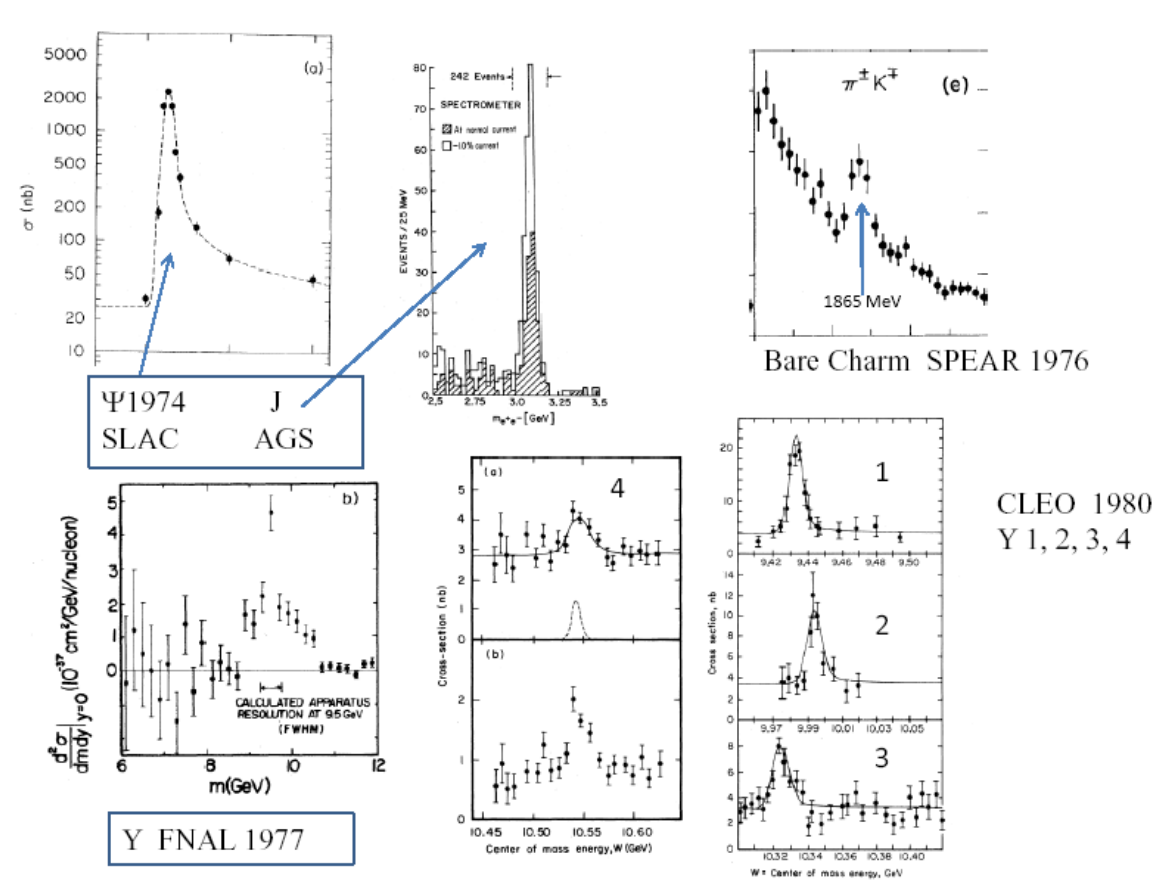


# おしまい

#### Machines and Events --- Truncated View of 1960-1996

1960-1970	ADA VEP1	AGS-BNL	Start of collider rings			
	ee VEP2	PS-CERN	Strong Focusing			
1971-1975	CEA ADONE	MR-FNAL	First evidence stochastic	Neutral currents		
(	SPEAR DORIS	ISR CERN	Cooling at ISR	J/Psi		
1976-1980	VEP4 CESR	SPS-CERN	Electron cooling	Charm, tau, gluon		
	PETRA	ICE CERN	Stochastic cooling	Upsilon		
1981-1985	PEP	TEVATRON  BAR-P CERN	PBARP CERN CDF Start	b W, Z		
1986-1990	BEPC Tristan LEP SLC	PBAR-P TEVATRON	FIRST COLL. CDF	B <sub>s</sub> mixing UA1		
1991-1996			D0 DET TEV	t quark, D-physics starts at CDF/DO		

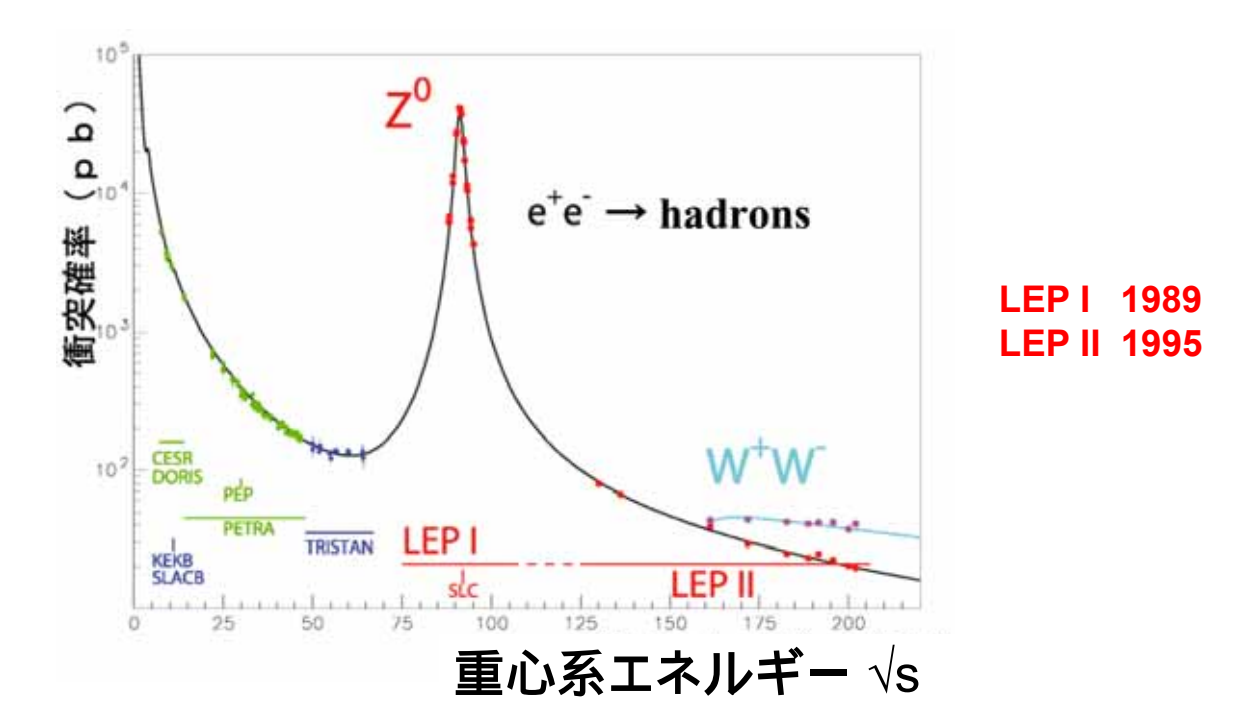
10/19/2010 Alvin Tollestrup, Hawaii, Japan-US Accord

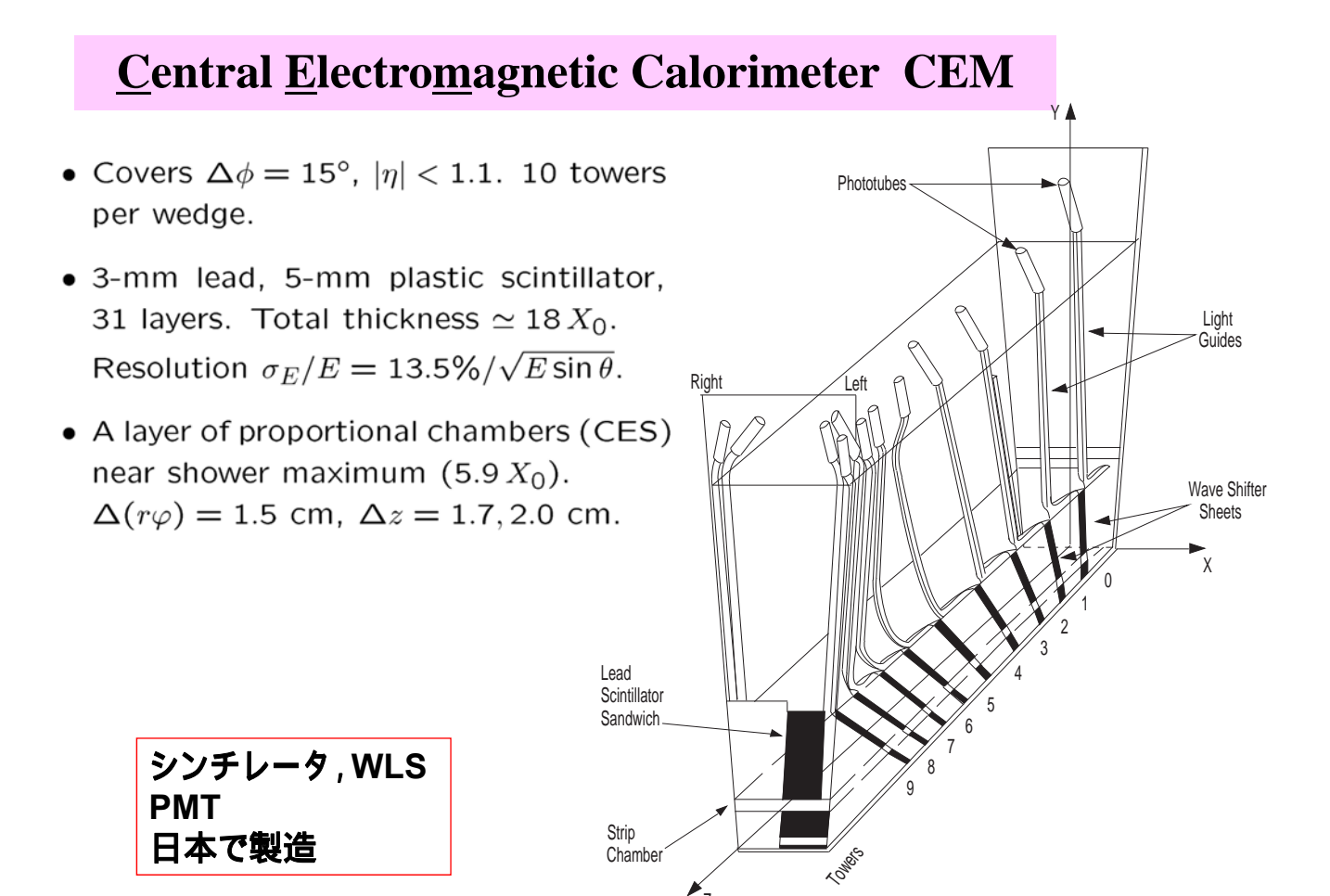


2

## 電子 · 陽電子衝突 : 反応断面積

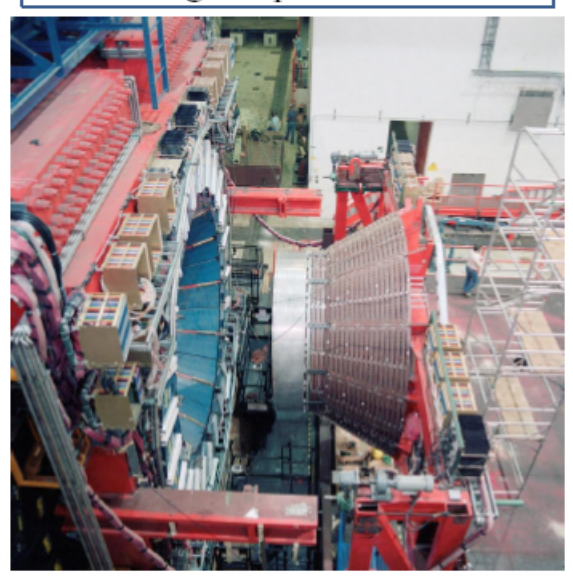
点電荷同士の衝突:エネルギーとともに減少



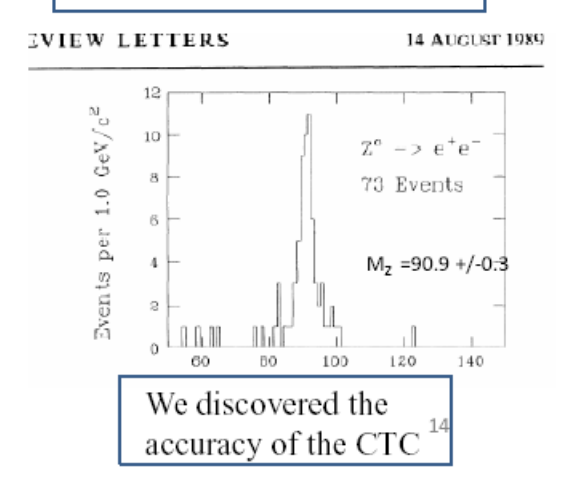


# 1988-89 Run: Fully functional detector. 4 pb<sup>-1</sup>

Detector complete as described in 1981 Design Report.



W & Z mass, sin<sup>2</sup>q<sub>w</sub>
Limits for top mass
Start on B physics
QCD physics
Defined path for upgrade



10/19/2010

Alvin Tollestrup, Hawaii, Japan-US Accord

# 素粒子の標準理論

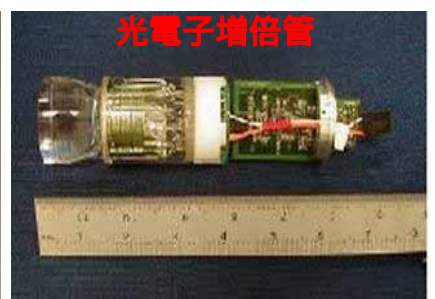
- 物質粒子 6 quarks and 6 leptons
- 相互作用 4 種類 (ゲージ粒子)

強い相互作用,電磁相互作用,弱い相互作用,重力 → 基本粒子と相互作用の研究

- ゲージ相互作用である:
   gluon g, photon γ, W<sup>±</sup> / Z<sup>0</sup>, graviton (?)
- SU(3) x SU(2) x U(1)
   color weak isospin weak hypercharge
   QCD weak + electromagnetic

# 粒子検出に用いられる技術(例)



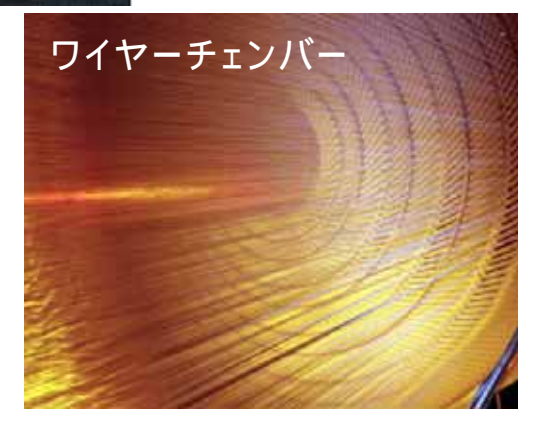


微弱な光を電気信号に変換する。 左のシンチレータと組み合わせて荷電粒子をとらえる。

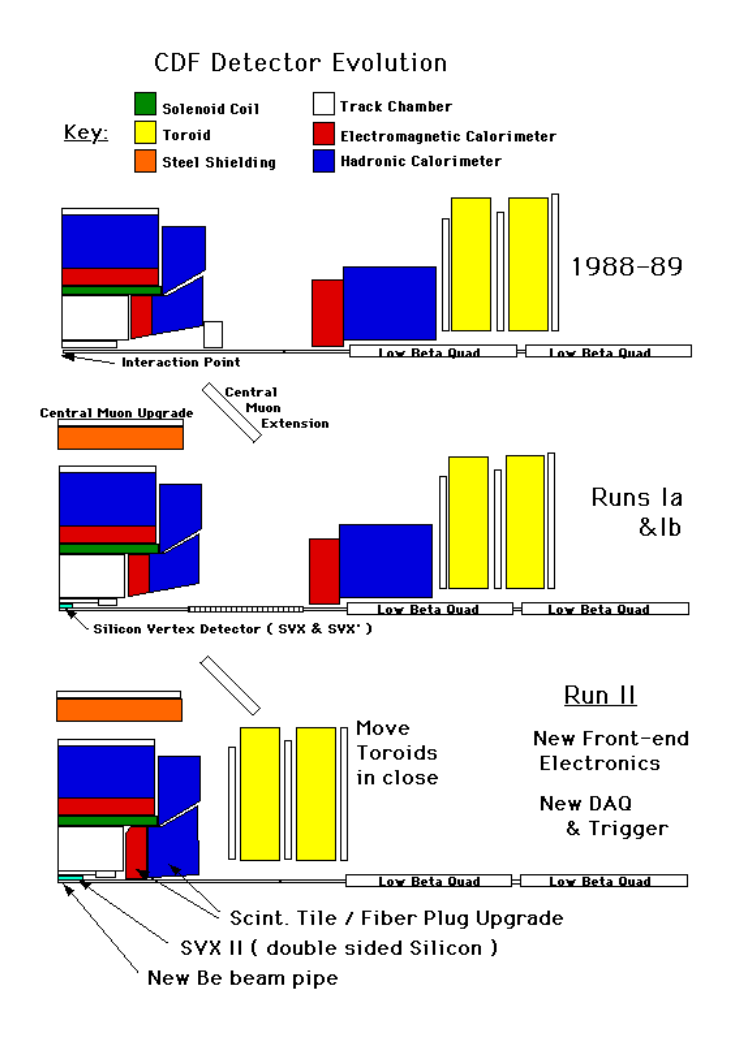
荷電粒子の通過に伴い微弱な光を出す

荷電粒子の通過した位置を数十ミクロン間隔で埋め込まれた電極により測定

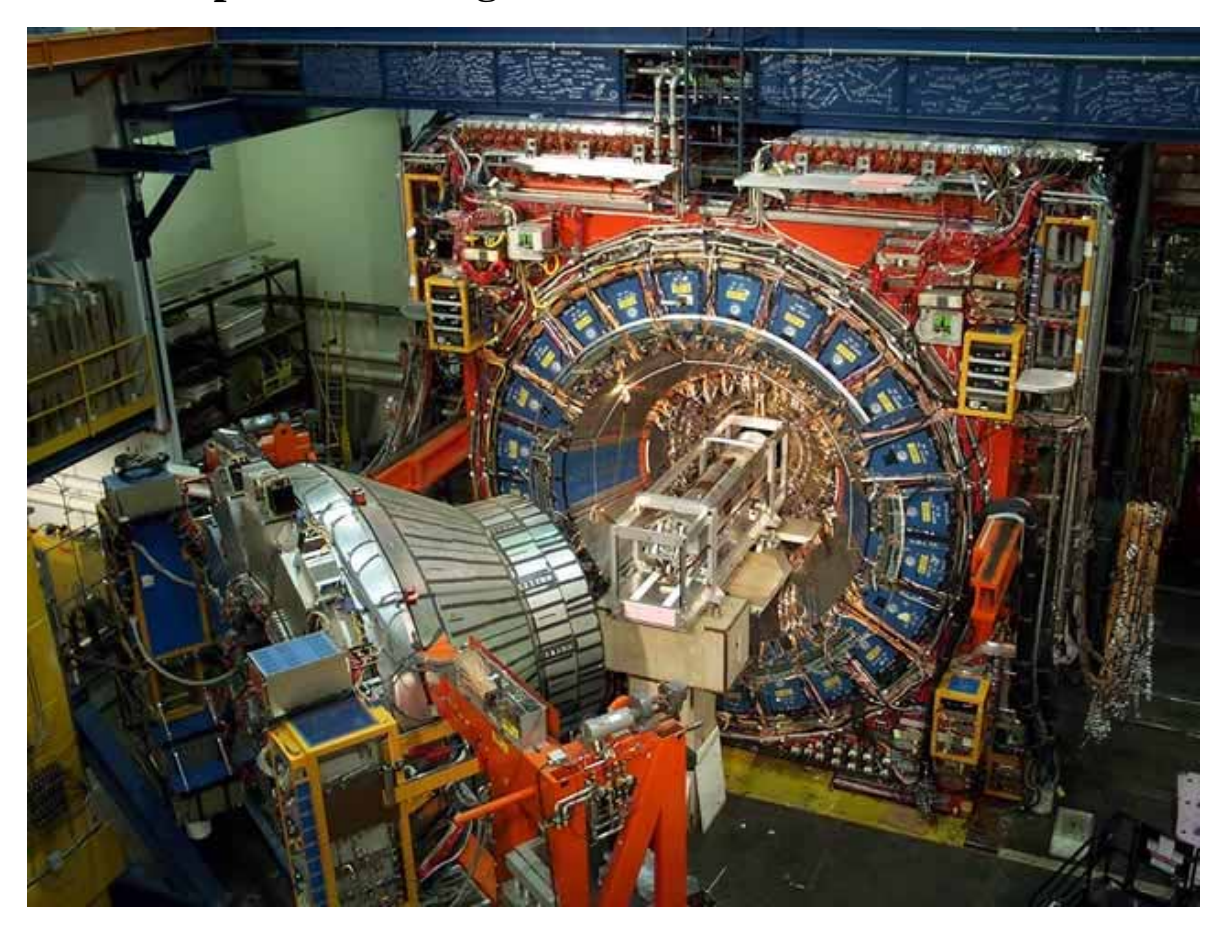


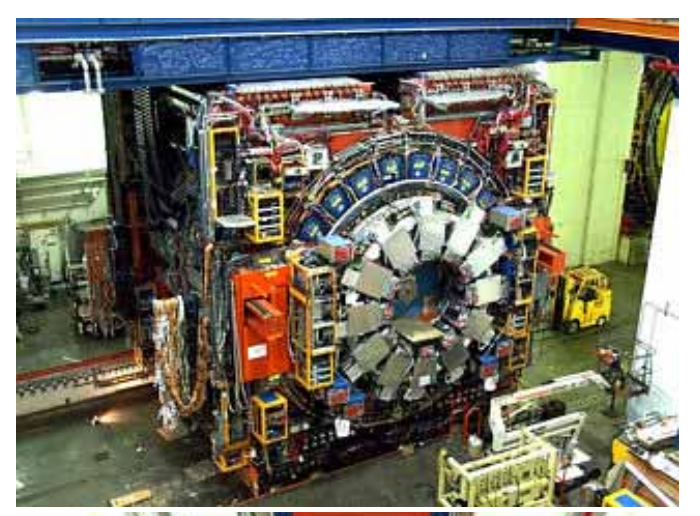


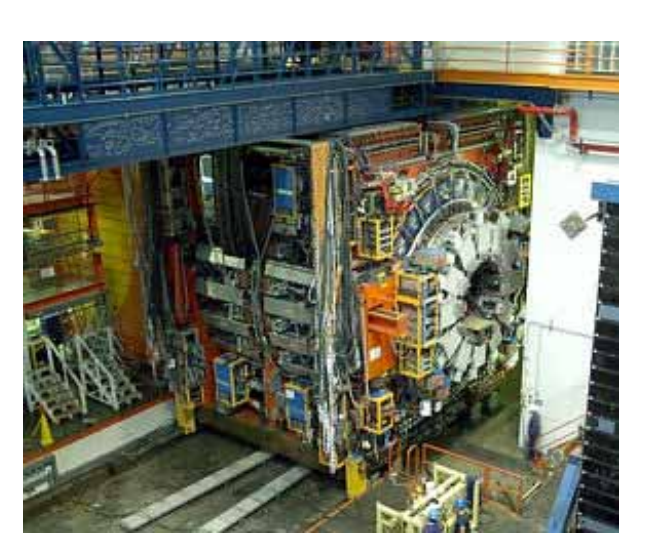
荷電粒子が通ると充満されているガス が電離してワイヤーに信号を残す

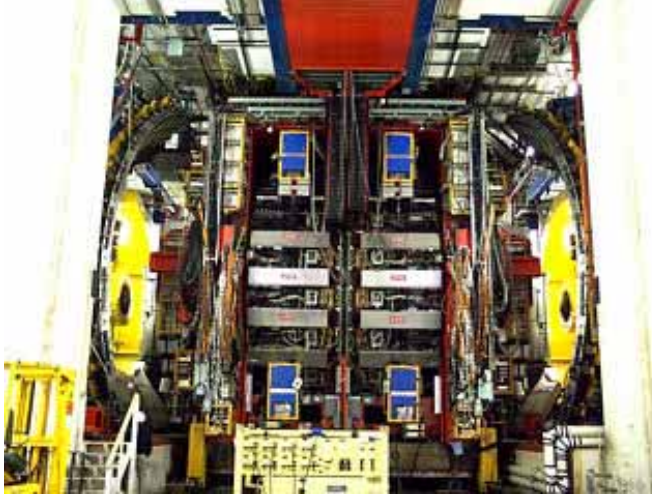


## Another component is being installed









The 1200-ton detector is moving to the accelerator collision point